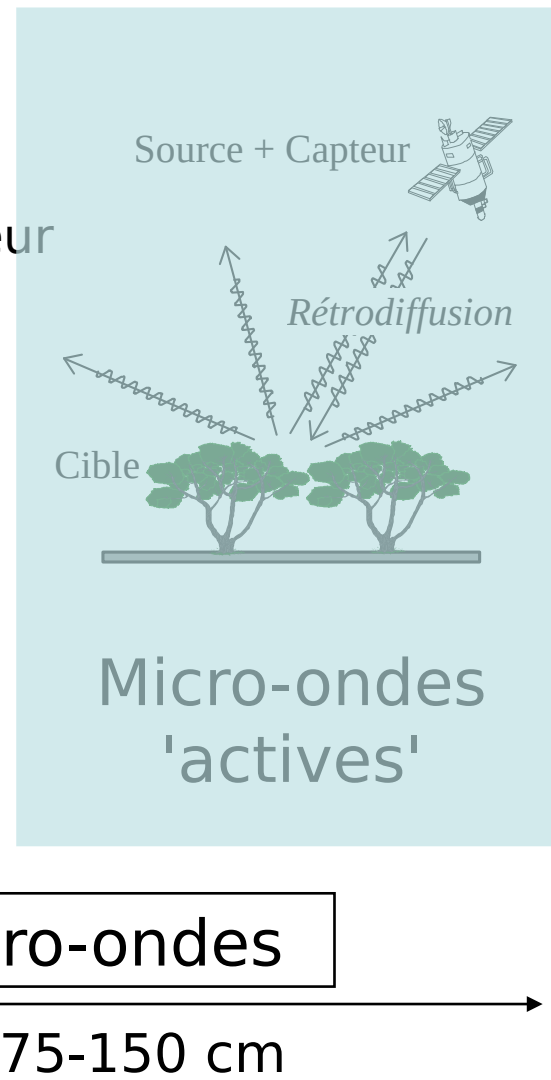
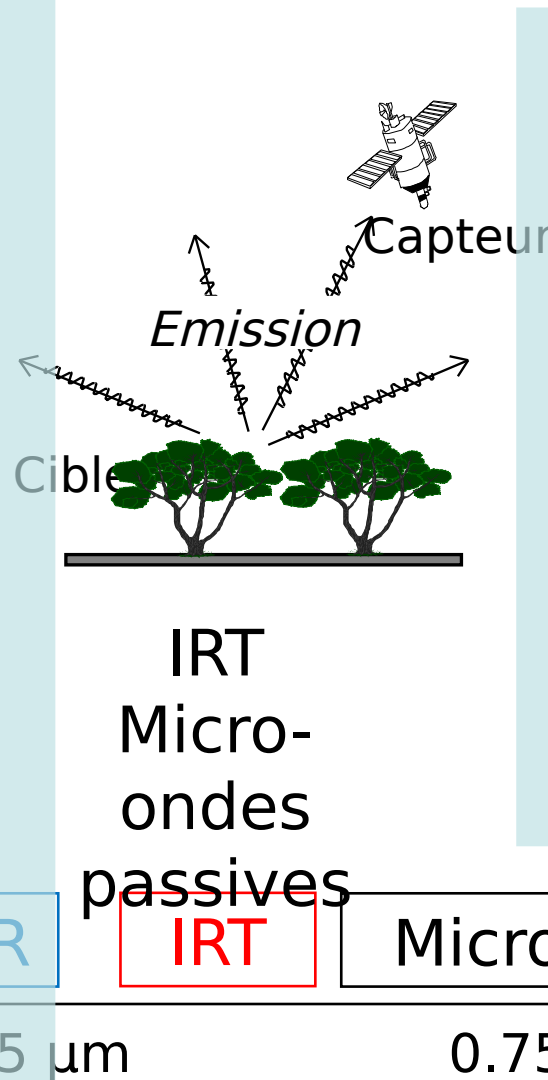
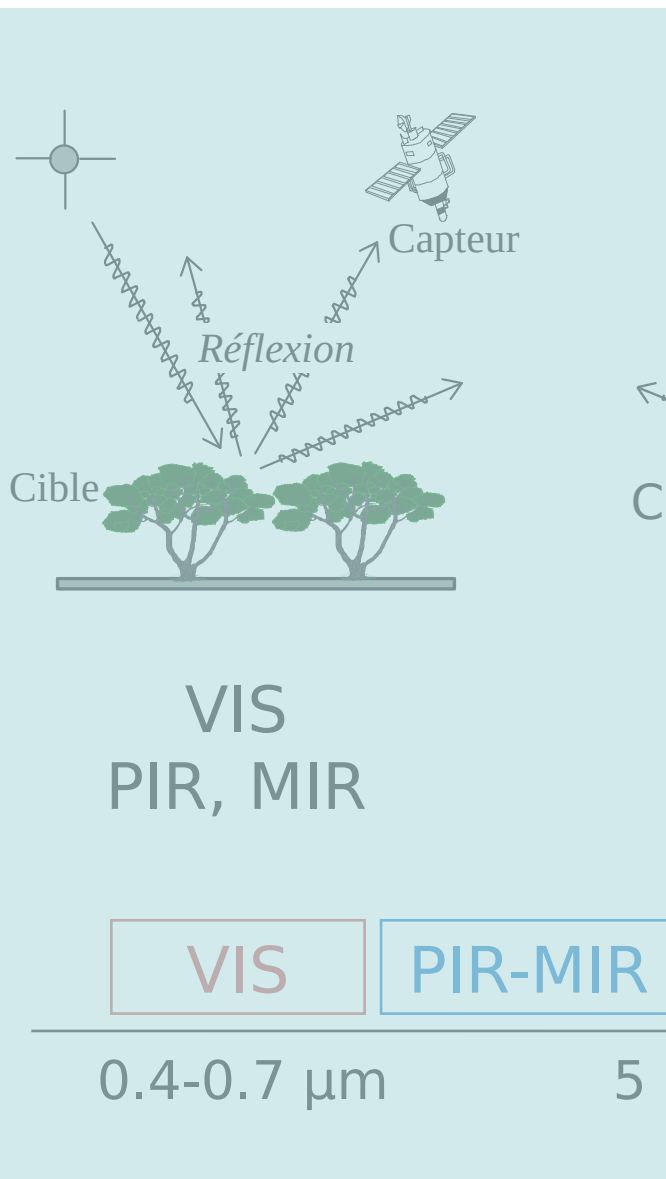


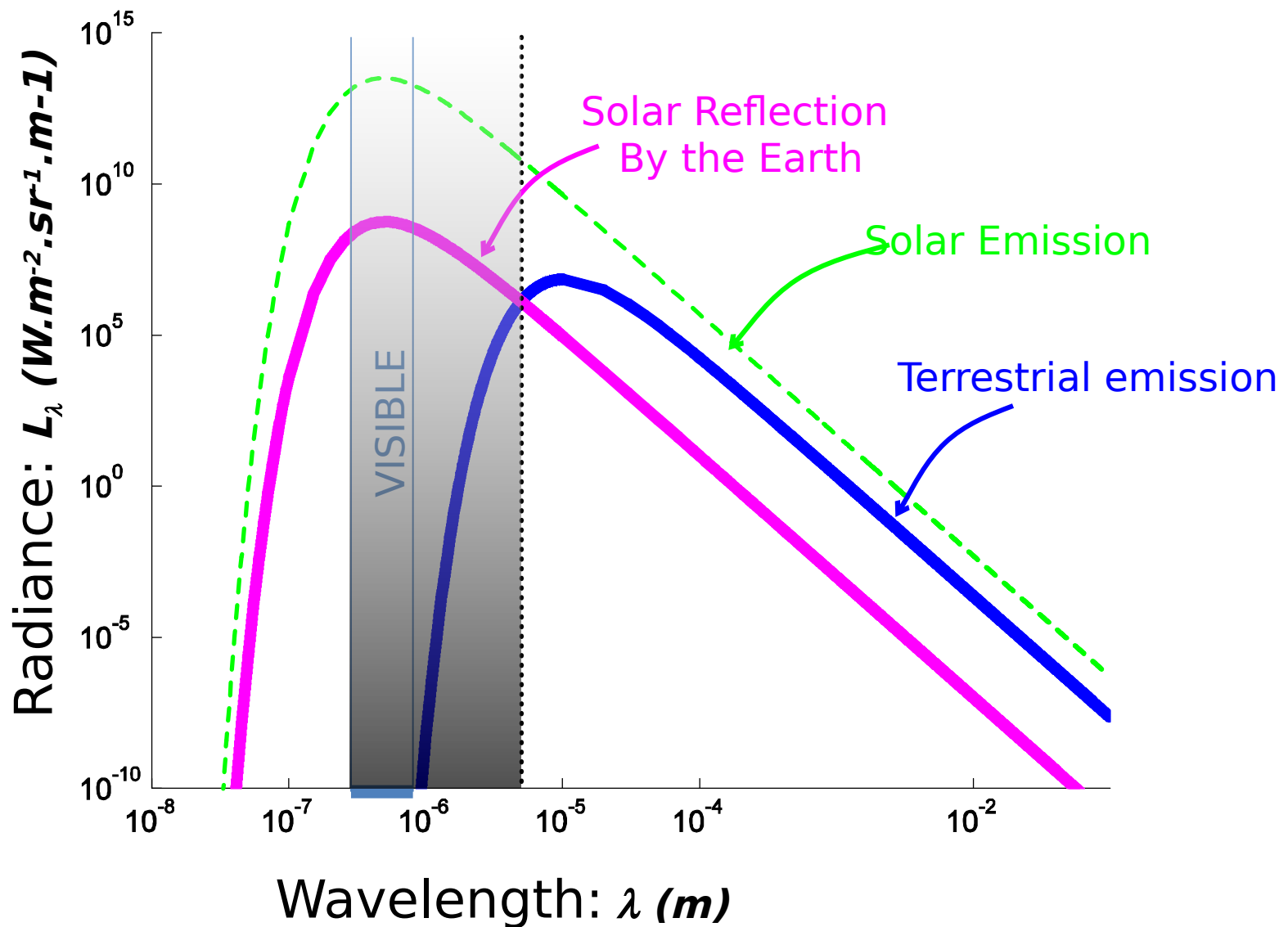
# *Domaine thermique & hyperfréquences*

## $5 \mu m - 10 m$

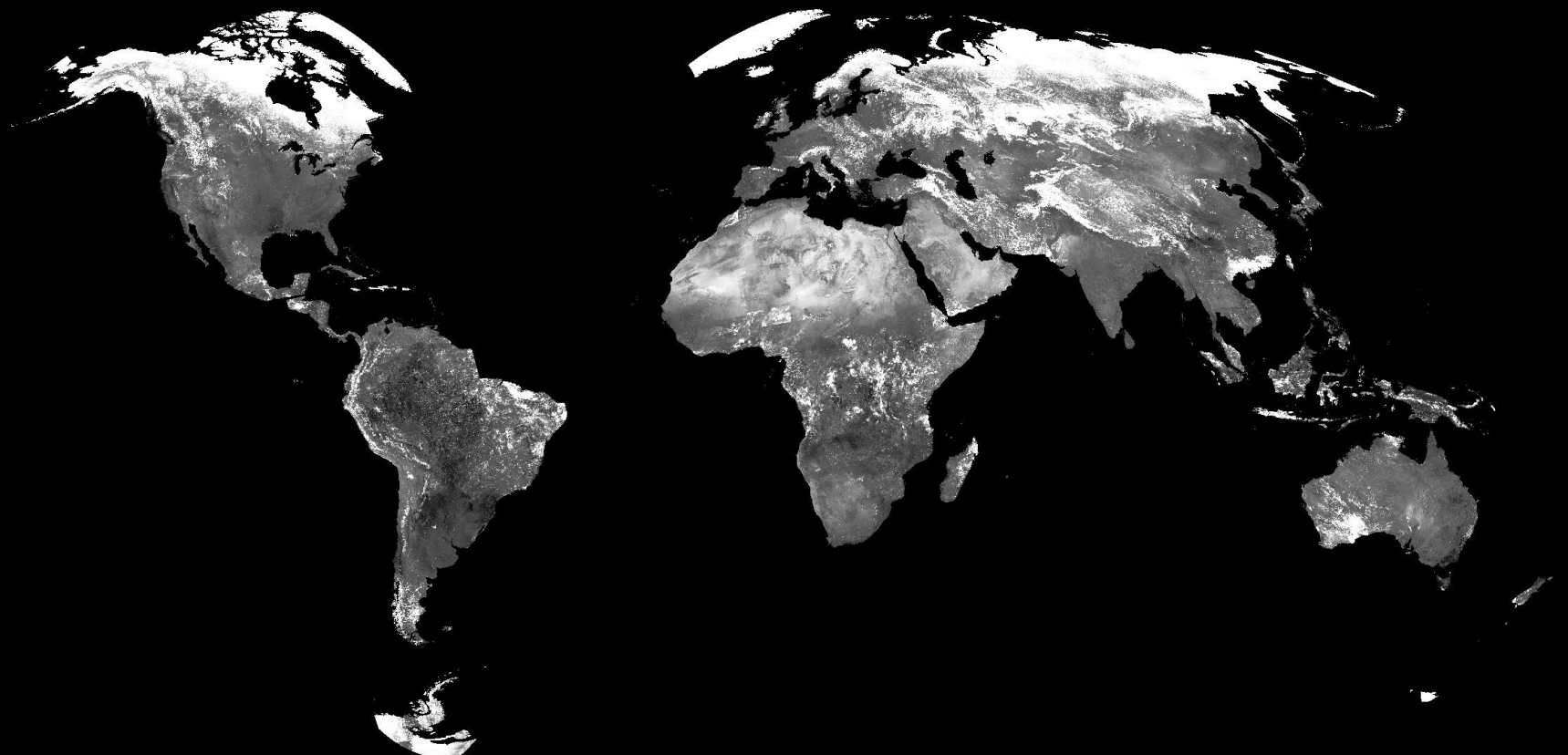
# *Modes d'observations*



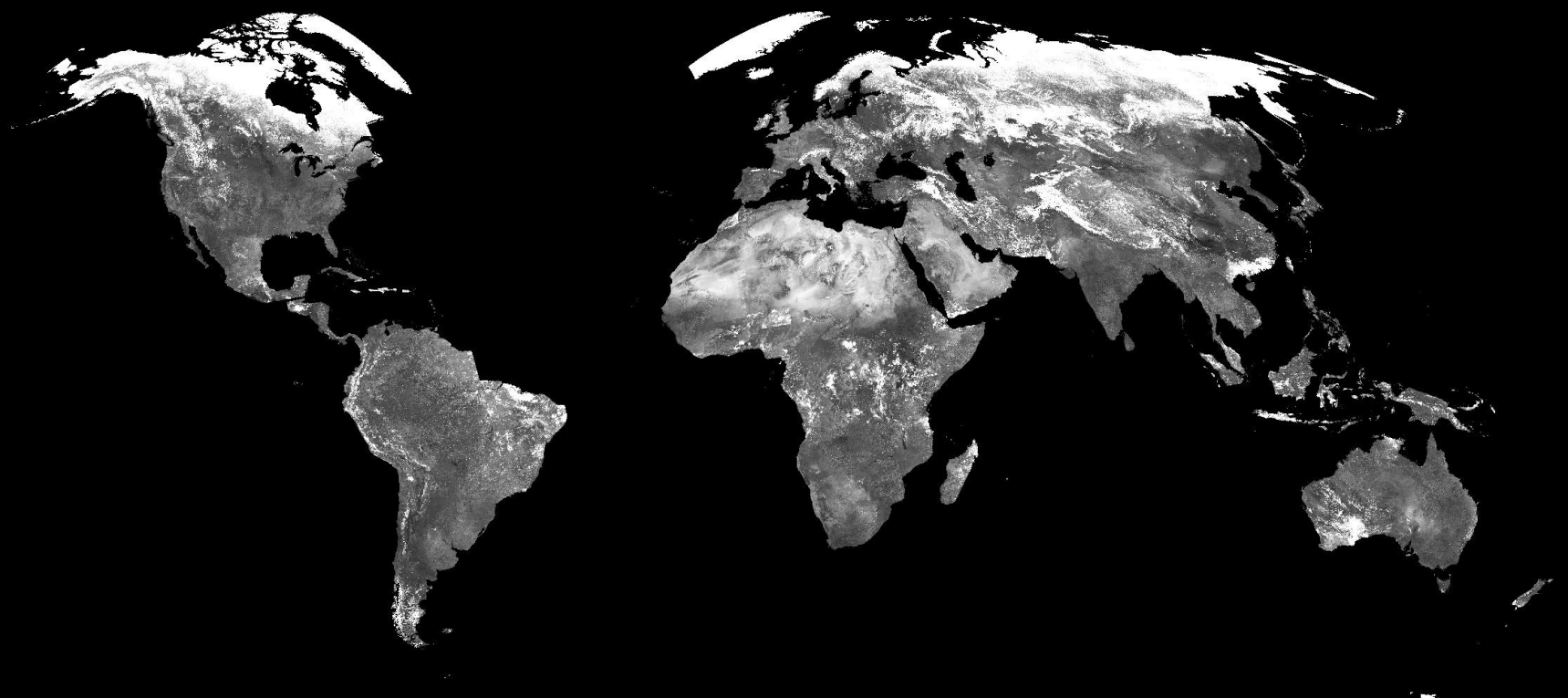
# ***OPTICAL DOMAIN***



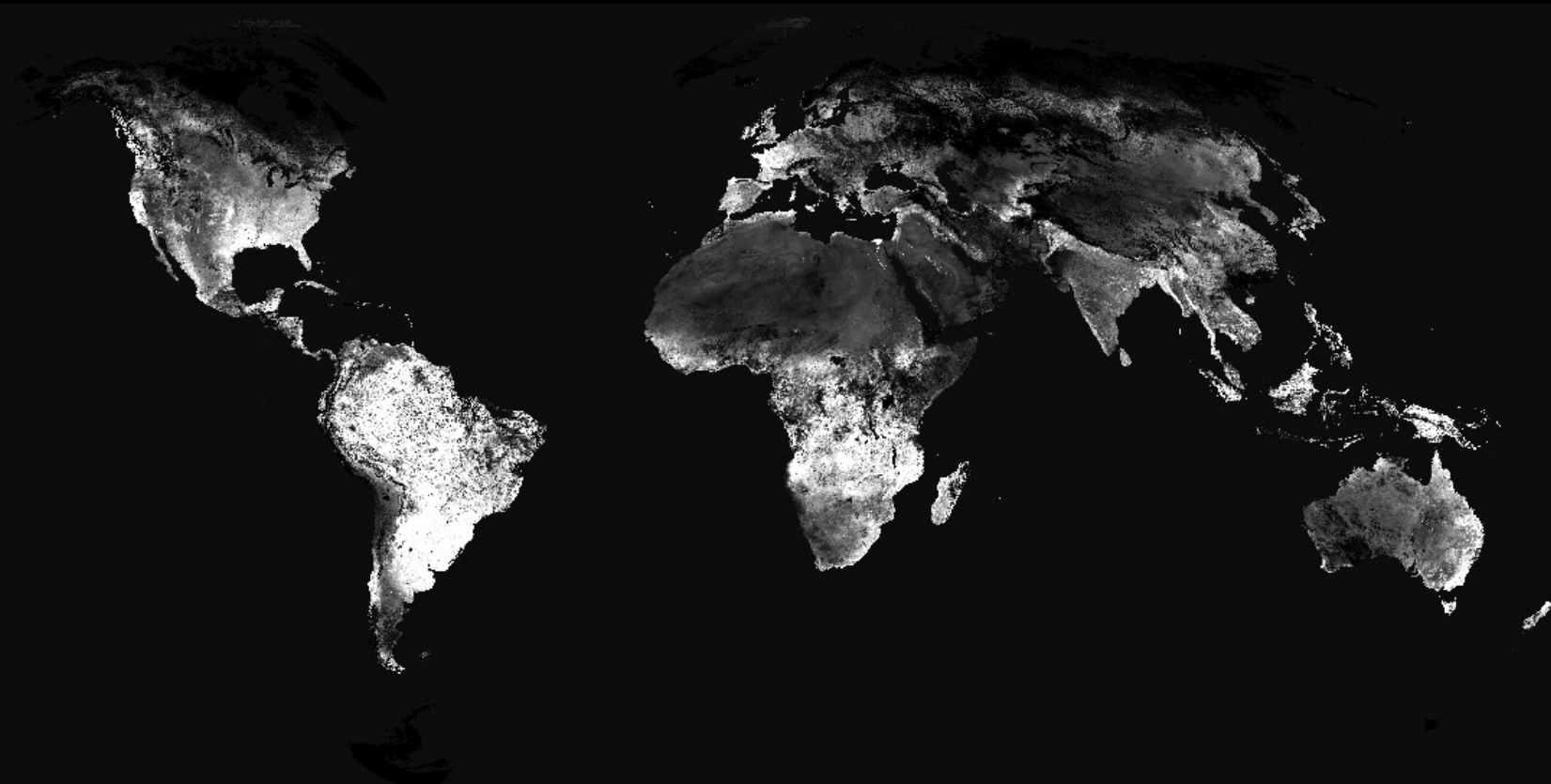
*Image globale NOAA-AVHRR*  
*Canal Rouge*  
*1-10 avril 1992*



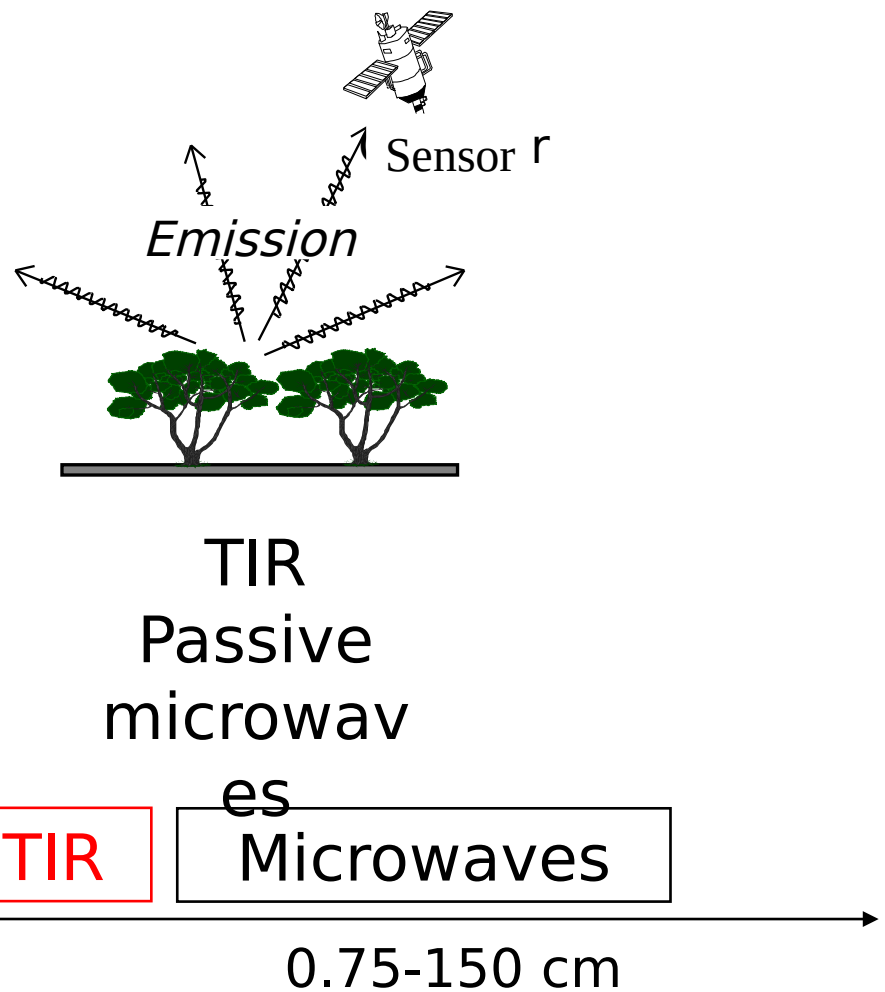
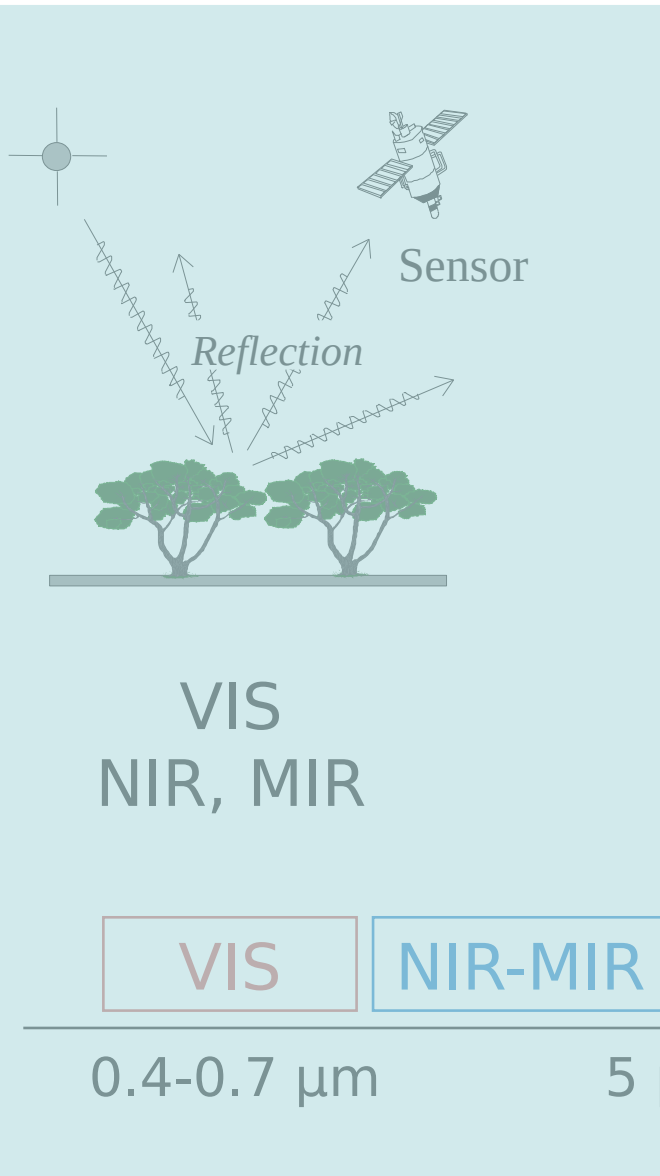
*Image globale NOAA-AVHRR*  
*Canal Proche-InfraRouge*  
*1-10 avril 1992*



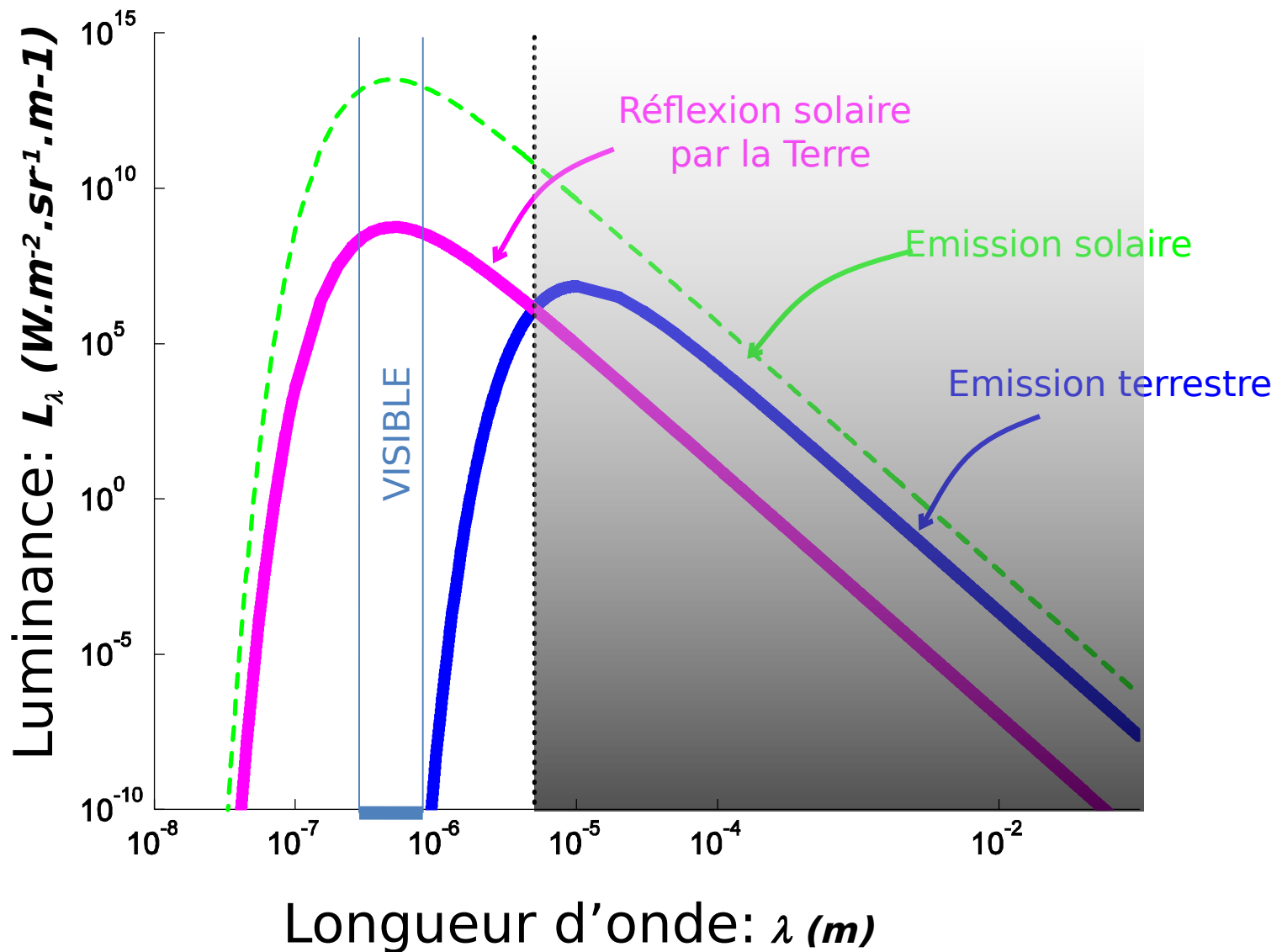
*Image globale NOAA-AVHRR*  
**NDVI**  
**1-10 avril 1992**



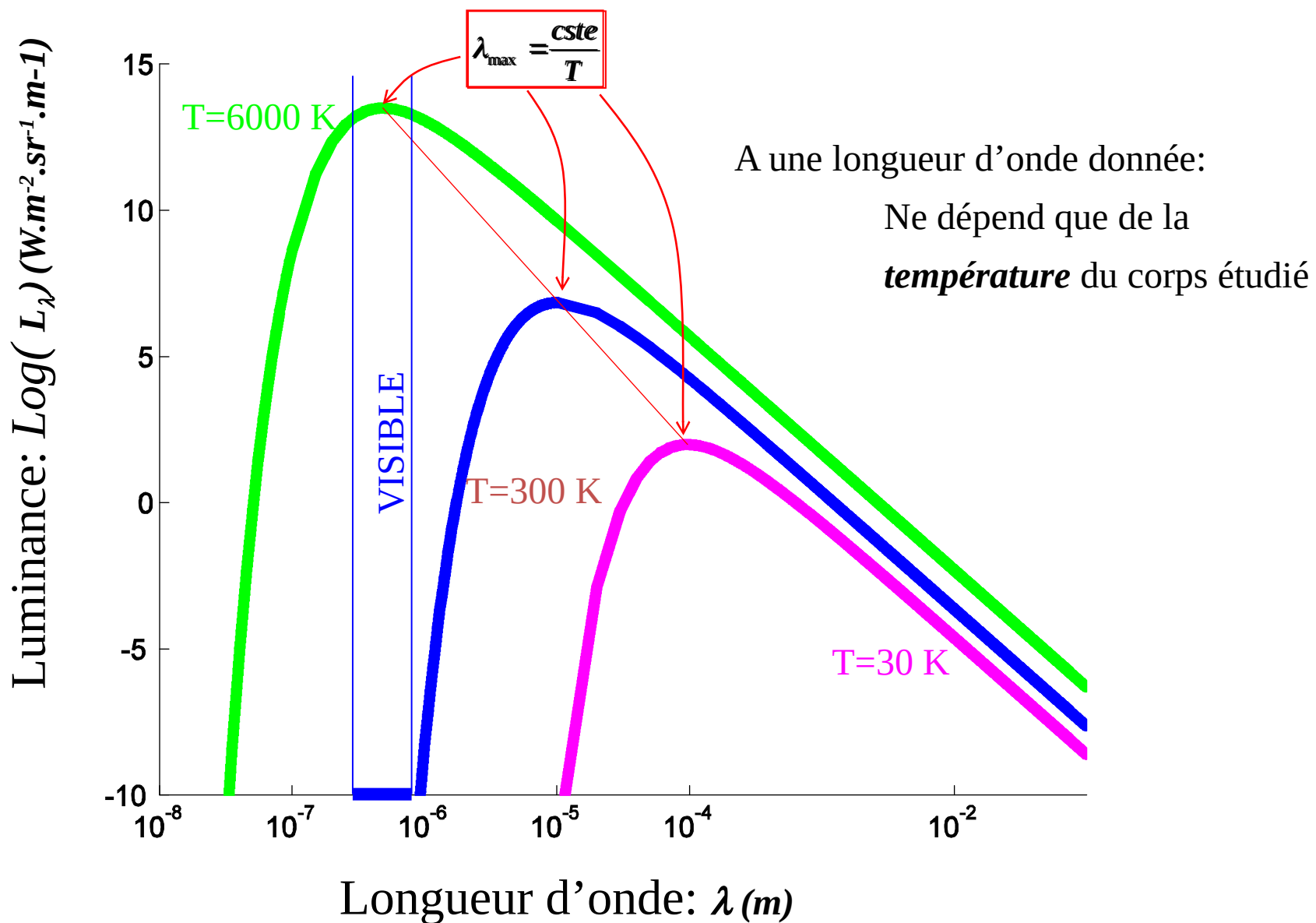
# *Observation Modes*



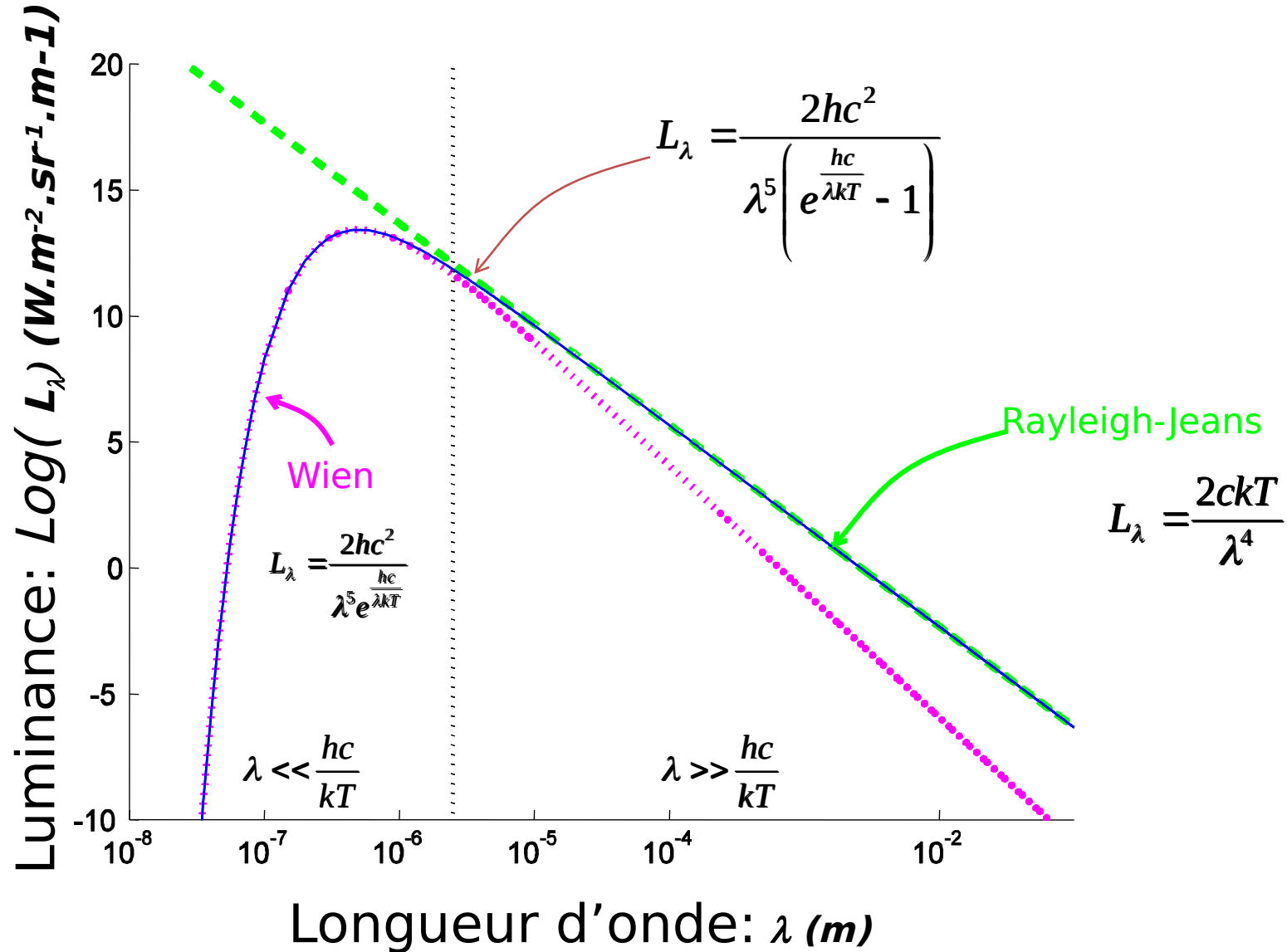
# *IR thermique - Hyperfréquences passives*



# *Le Rayonnement du corps noir*



# ***Rayonnement du corps noir: Approximations de Wien et de Rayleigh-Jeans***



# *émission Thermique + hyperfréquences passives (5 μm)*

(rayonnement émis par les surfaces)

Grandes longueurs d'ondes:  $L_\lambda = \frac{2ckT}{\lambda^4}$

Luminance du corps noir  
Luminance du corps étudié équivalent à même température thermodynamique

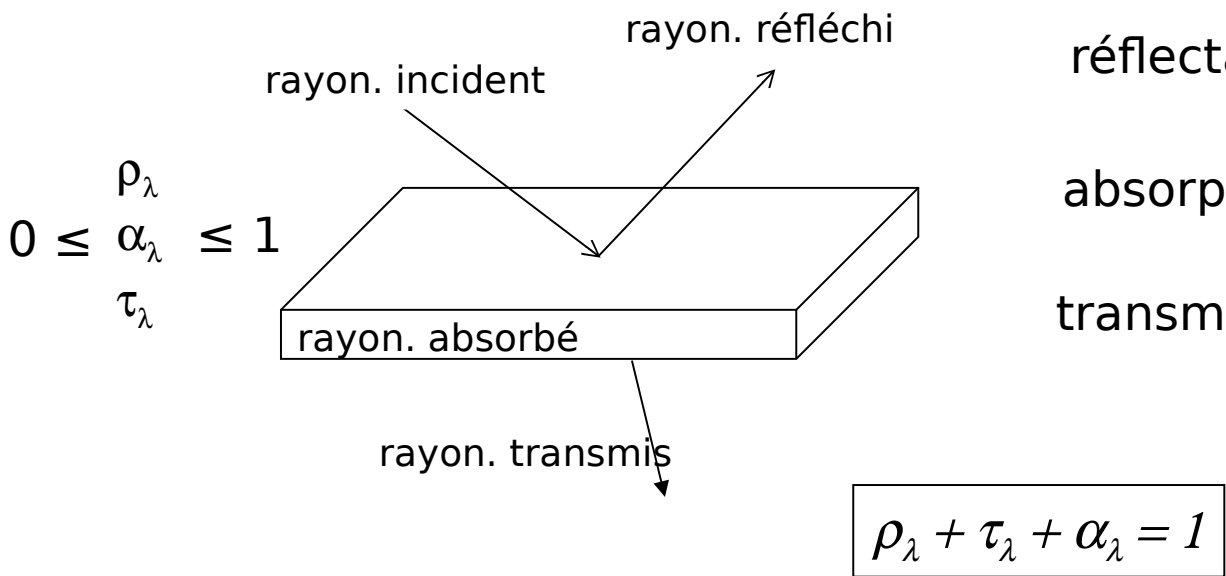
Corps noir (idéal)  $\neq$  corps gris (naturels)  $\Rightarrow$  Émissivité:  $L_\lambda = \varepsilon(\lambda) L_{\lambda cn}$

$$0 \leq \varepsilon(\lambda) \leq 1$$

**température de brillance  $T_b$ :** température thermodynamique du corps noir qui émettrait le même rayonnement que le corps étudié

$$\frac{2ckT_b}{\lambda^4} = \varepsilon \frac{2ckT}{\lambda^4} \quad \Rightarrow \quad T_b = \varepsilon T$$

# conservation de l'énergie



réflectance       $\rho_\lambda = \frac{\text{radiation réfléchie}}{\text{radiation incidente}}$

absorptance       $\alpha_\lambda = \frac{\text{radiation absorbée}}{\text{radiation incidente}}$

transmittance  $\tau_\lambda = \frac{\text{radiation transmise}}{\text{radiation incidente}}$

## Cas particuliers:

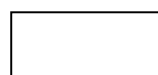
Corps noir:  $\rho = \tau = 0$        $\alpha = 1$

Corps opaque:  $\tau = 0$        $\alpha + \rho = 1$

## Loi de Kirchoff:

$$\alpha = \varepsilon$$

(équilibre thermodynamique)



$\Rightarrow$

Corps noir:  $\varepsilon = \alpha = 1$   
Corps opaque:  $\varepsilon + \rho = 1$

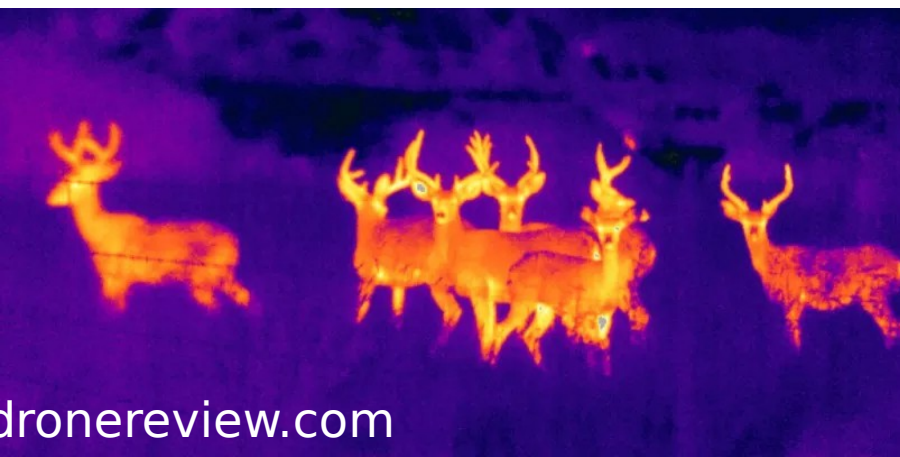
# *Rayonnement émis dans Rayonnement (amplifié), infra-rouge Thermique réfléchi dans le visible*



[www.thermalground.com](http://www.thermalground.com)

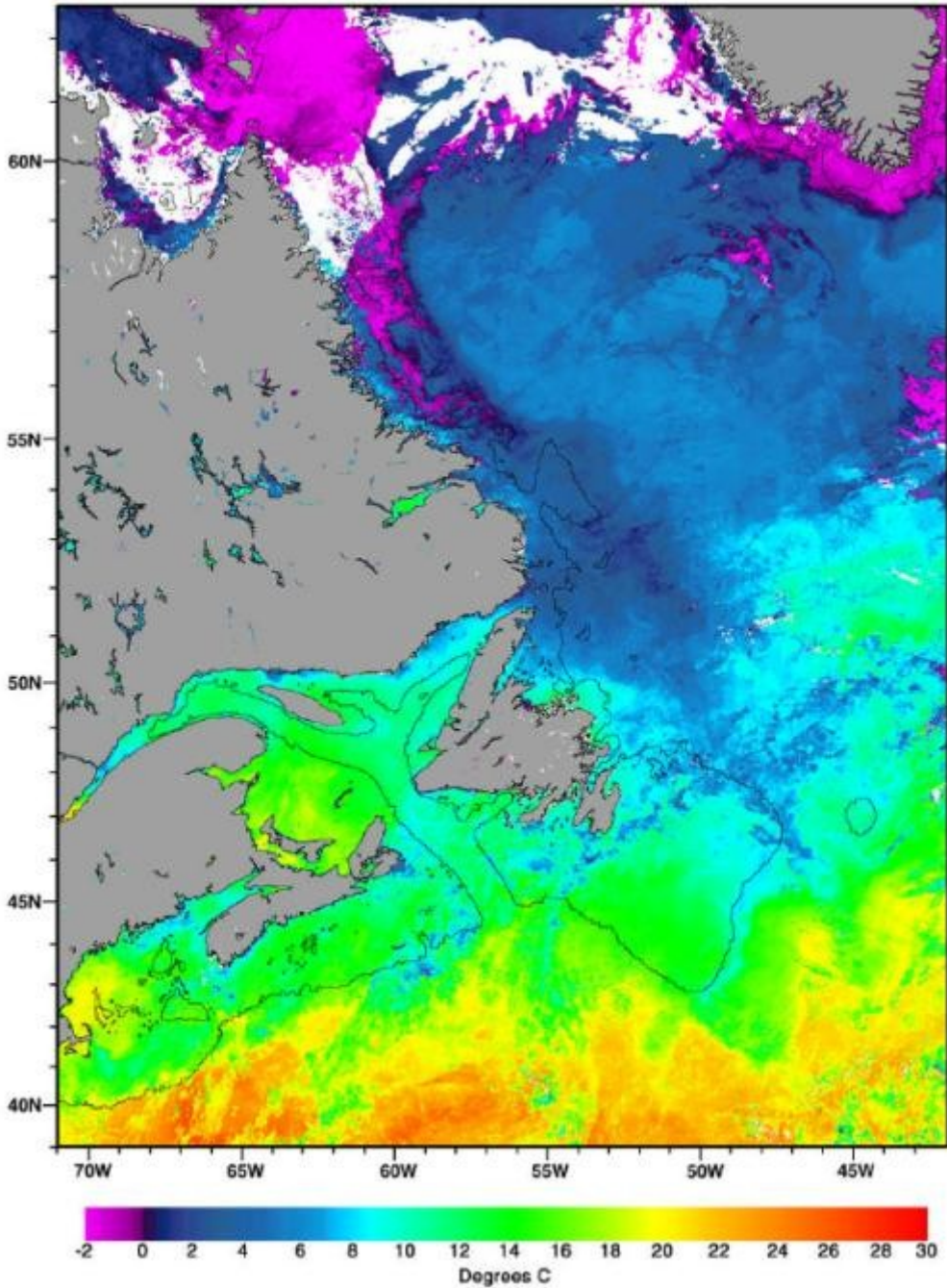


[www.shutterstock.com](http://www.shutterstock.com)



[dronereview.com](http://dronereview.com)

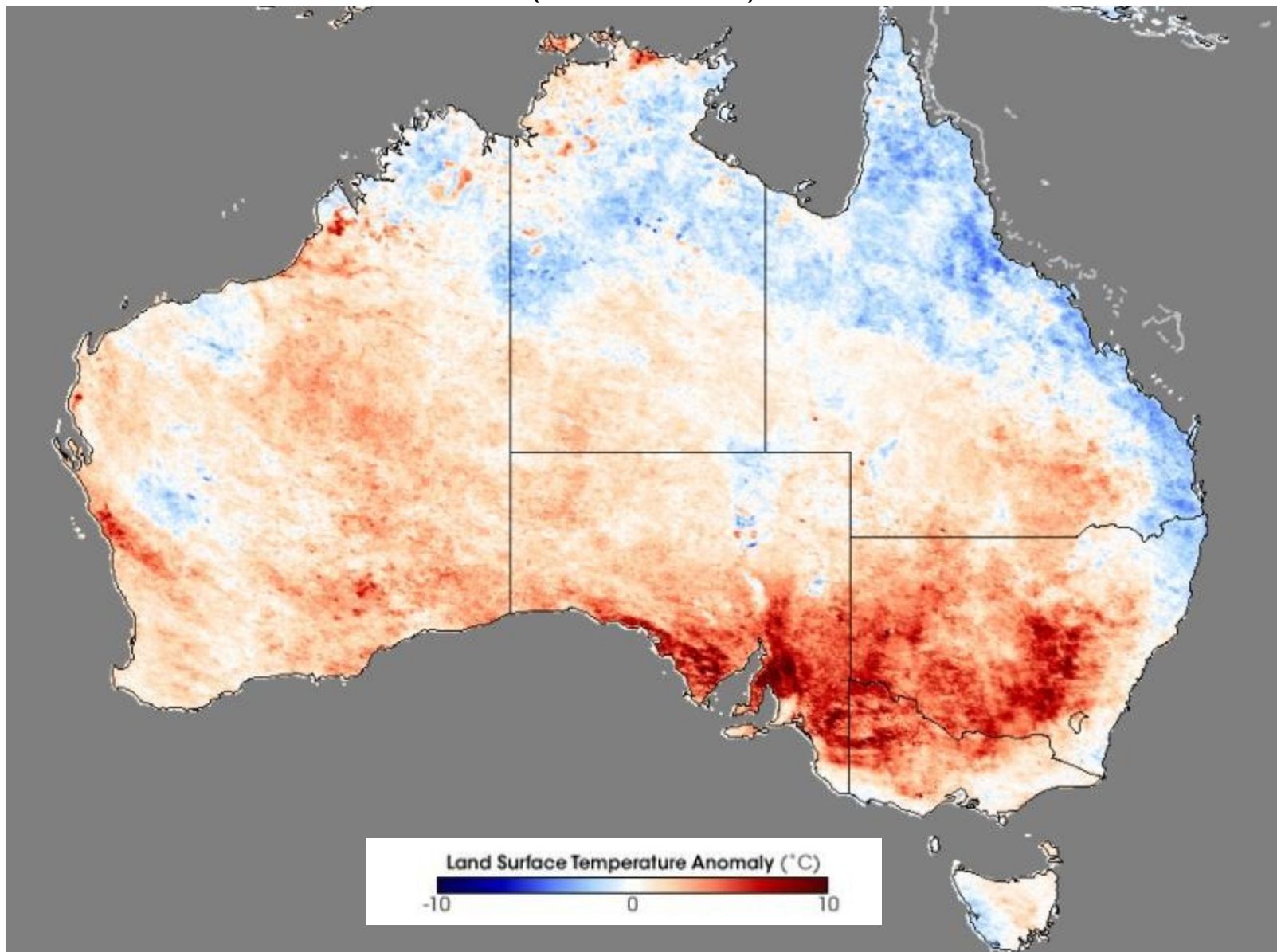
Température à la surface de la mer  
16-30 juin 1999 - composite



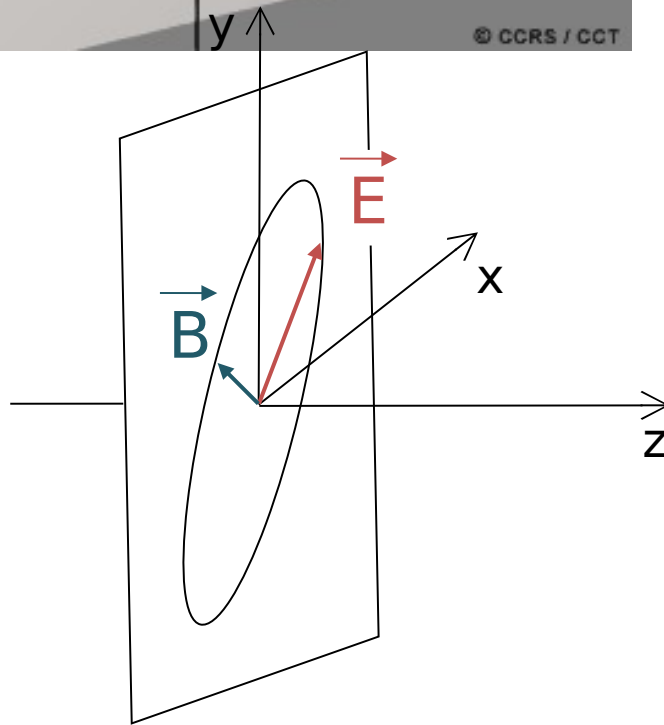
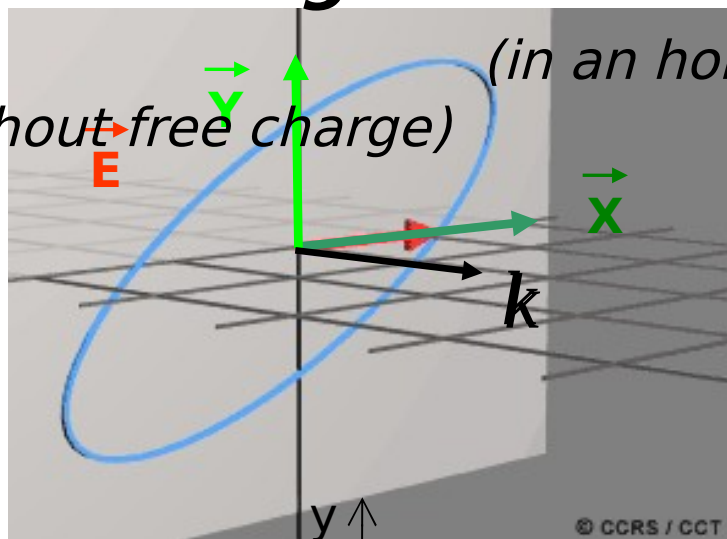
SeaWiFS  
Température de l 'eau  
Observée à partir de  
canaux dans l'InfraRouge

# MODIS

Température de surface mensuelle: septembre 2006  
(vs 2000-2005)



# Polarization of a Electromagnetic wave



© CCRS / CCT

(in an homogeneous medium)

$$E = E_0 \cos(\omega t - kz)$$

frequency:  $f$

fréq. ang.:  $\omega = 2 \pi f$

Wave number:  $k = \frac{2\pi f}{c}$

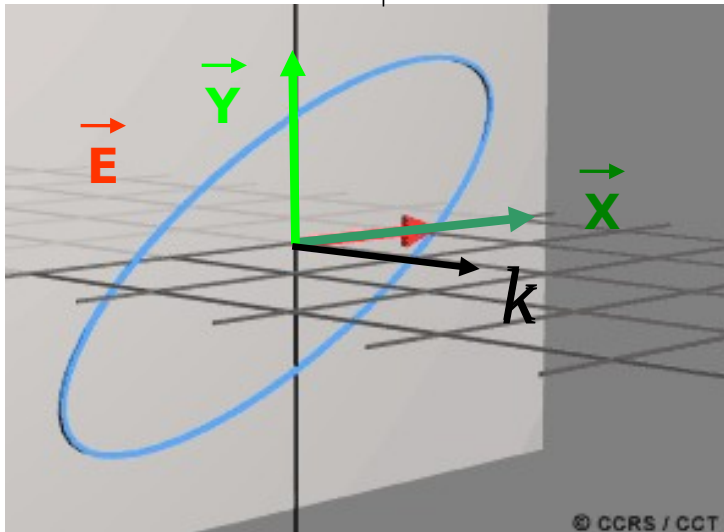
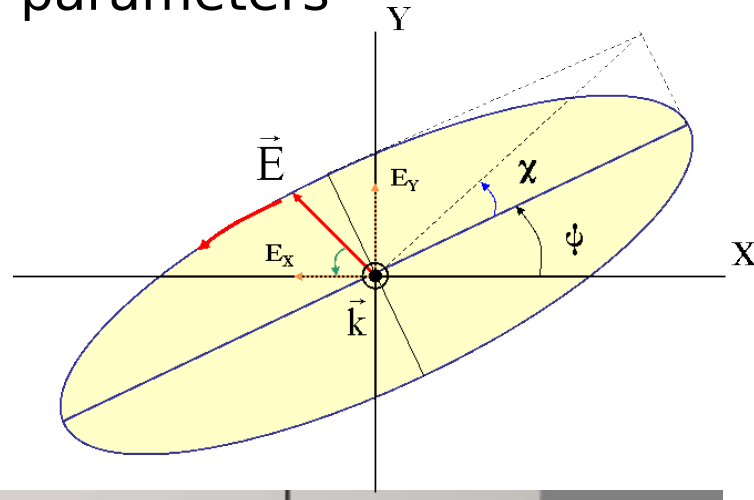
Phase speed:  $v = \frac{\omega}{k} = \frac{1}{\sqrt{\epsilon \mu}} = \frac{c}{\sqrt{\epsilon_r \mu_r}}$

Relative permitivity:  $\epsilon_r = \frac{\epsilon}{\epsilon_0}$

Relative permeability:  $\mu_r = \frac{\mu}{\mu_0} \approx 1$

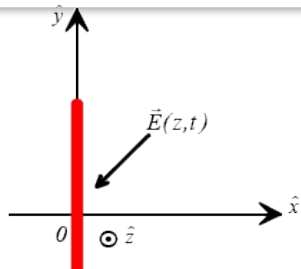
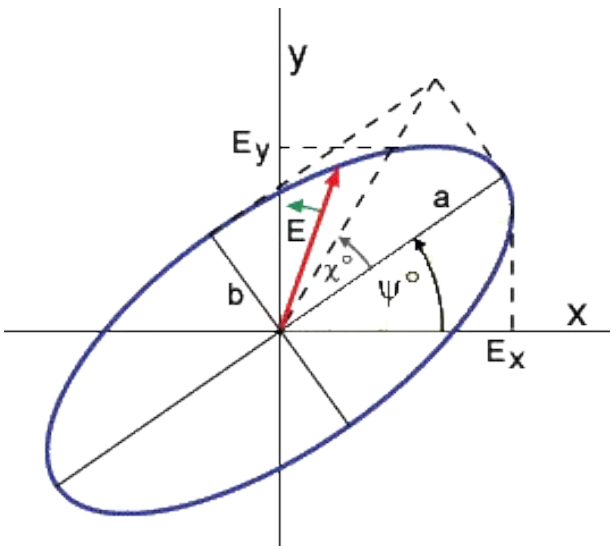
# Polarization of a Electromagnetic wave

**Coherent** sensor (amplitudes + phase of field E) : 3 parameters



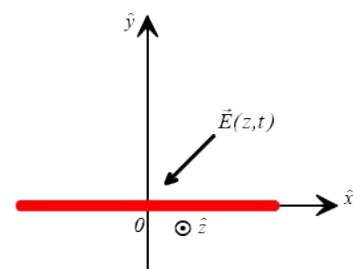
- **Orientation  $\Psi$**
- **Ellipticity  $\chi$** 
  - linear:  $\chi = 0$
  - Circular:
    - Left  $\chi = 45^\circ$
    - Right  $\chi = -45^\circ$
- **Amplitude**

# POLARISATIONS



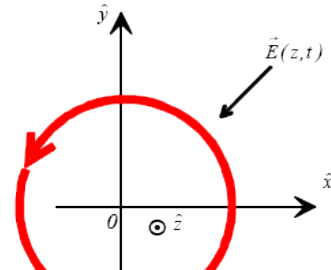
**Polarisation  
Verticale :  $V$**

$$\chi = 0, \quad \psi = \pi/2$$



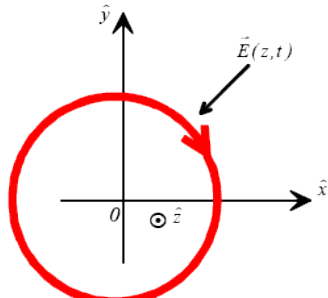
**Polarisation  
Horizontale :  $H$**

$$\chi = 0, \quad \psi = 0$$



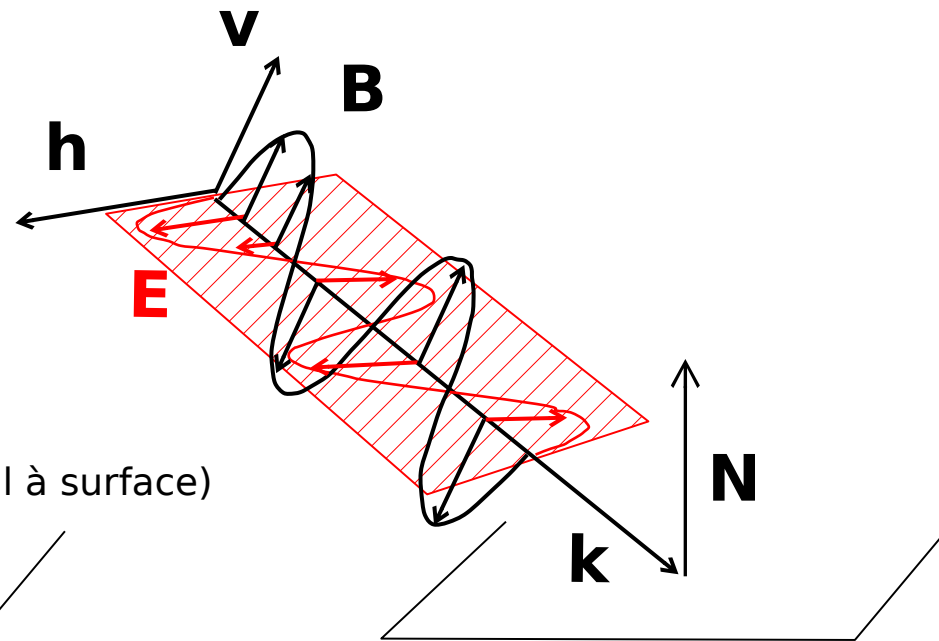
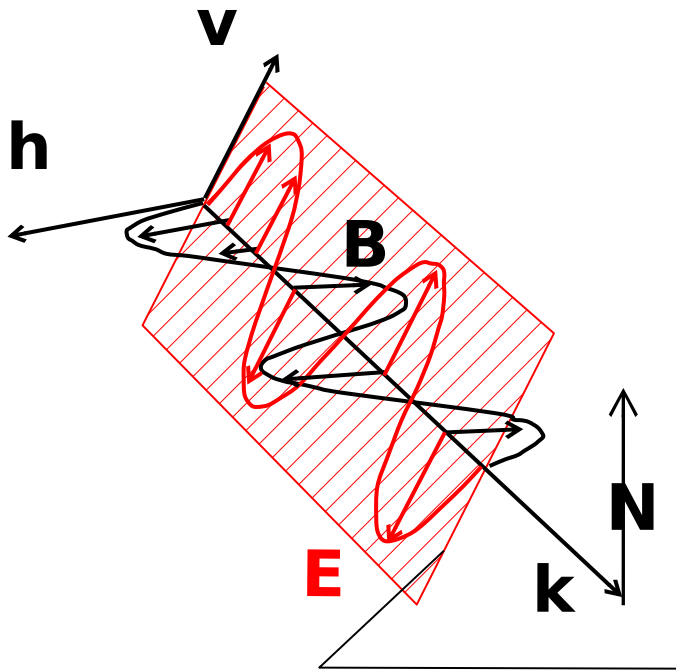
**Polarisation  
Circulaire  
Droite :  $D$**

$$\chi = -\pi/4$$



**Polarisation  
Circulaire  
Gauche :  $G$**

$$\chi = \pi/4$$

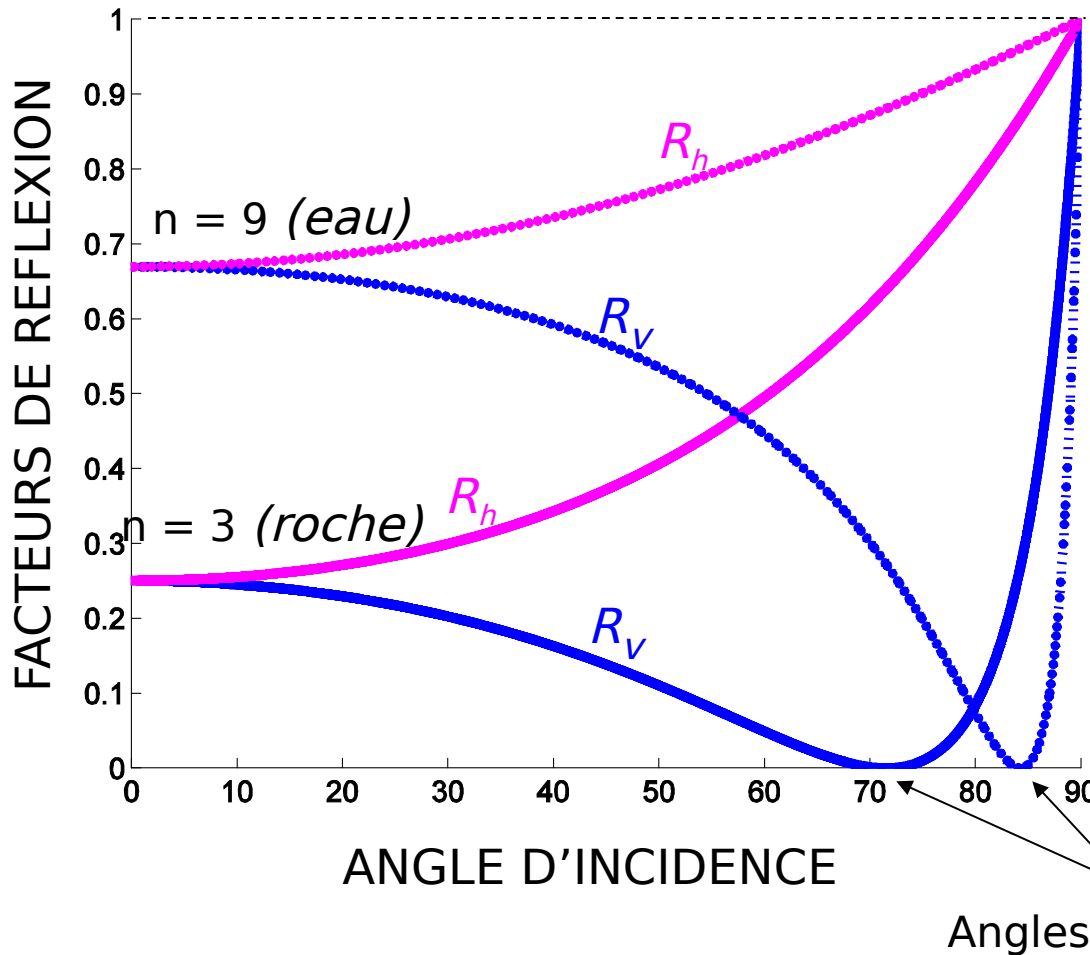


**(k, N): plan d'incidence**

Polarisation verticale  
parallèle  
TM (transverse magnétique)

Polarisation horizontale  
orthogonale  
TE (transverse électrique)

# Facteurs de réflexion $R = |r|^2$



$$E_r = r E_i$$

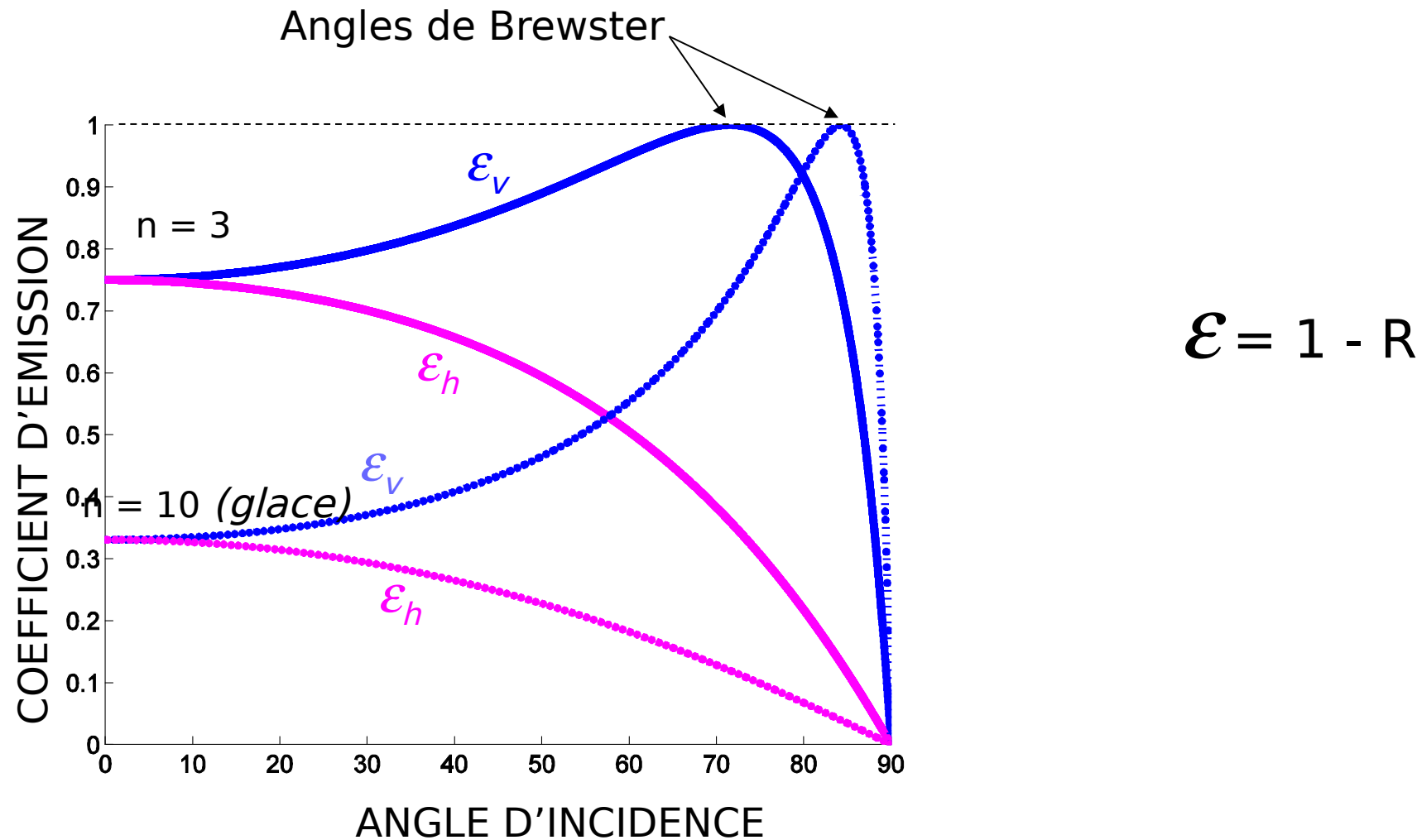
$$r_v = \frac{\sqrt{\epsilon_r - \sin^2 \theta_1} - \epsilon_r \cos \theta_1}{\sqrt{\epsilon_r - \sin^2 \theta_1} + \epsilon_r \cos \theta_1}$$

$$r_h = \frac{\cos \theta_1 - \sqrt{\epsilon_r - \sin^2 \theta_1}}{\cos \theta_1 + \sqrt{\epsilon_r - \sin^2 \theta_1}}$$

Angles de Brewster

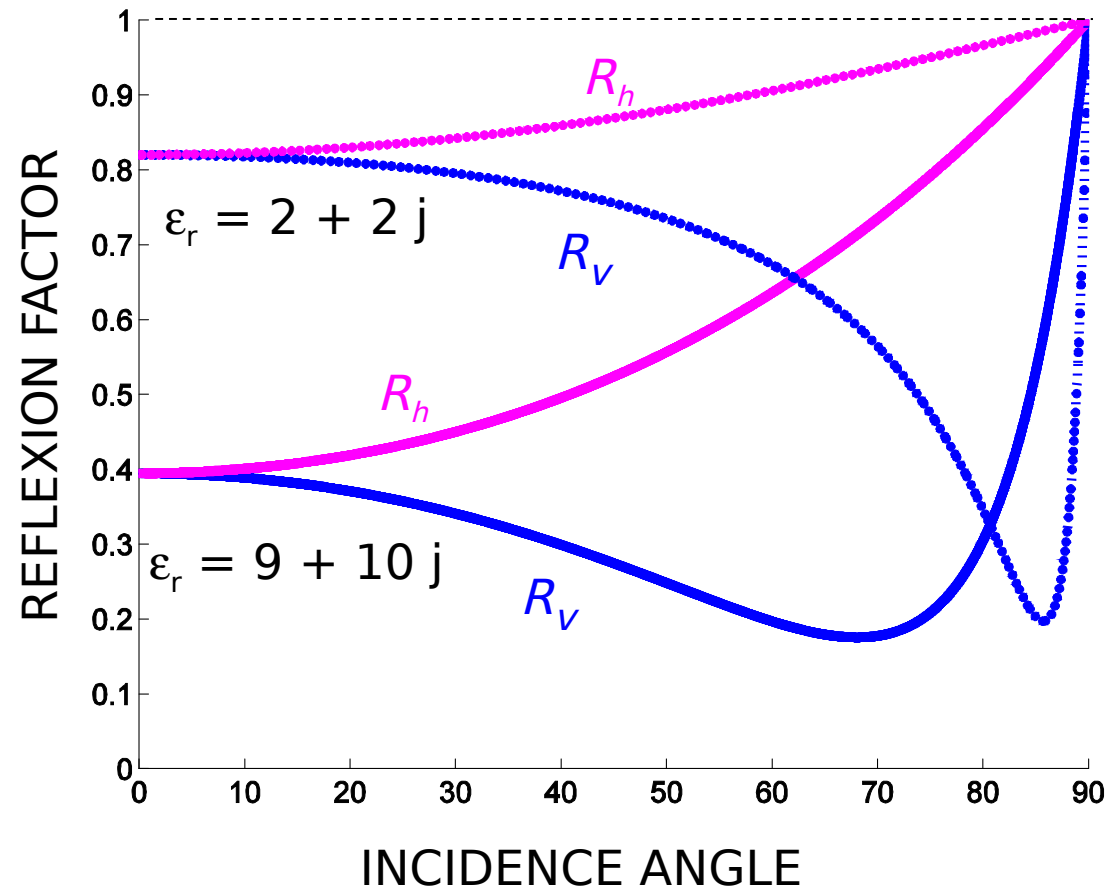
Indice de réfraction:  $n = \sqrt{\epsilon_r}$

# *Émissivité pour une surface lisse*



# Reflexion factor (energy) $R = |r|^2$

If dispersive medium



$$E_r = r E_i$$

$$r_v = \frac{\sqrt{\epsilon_r - \sin^2 \theta_1} - \epsilon_r \cos \theta_1}{\sqrt{\epsilon_r - \sin^2 \theta_1} + \epsilon_r \cos \theta_1}$$

$$r_h = \frac{\cos \theta_1 - \sqrt{\epsilon_r - \sin^2 \theta_1}}{\cos \theta_1 + \sqrt{\epsilon_r - \sin^2 \theta_1}}$$

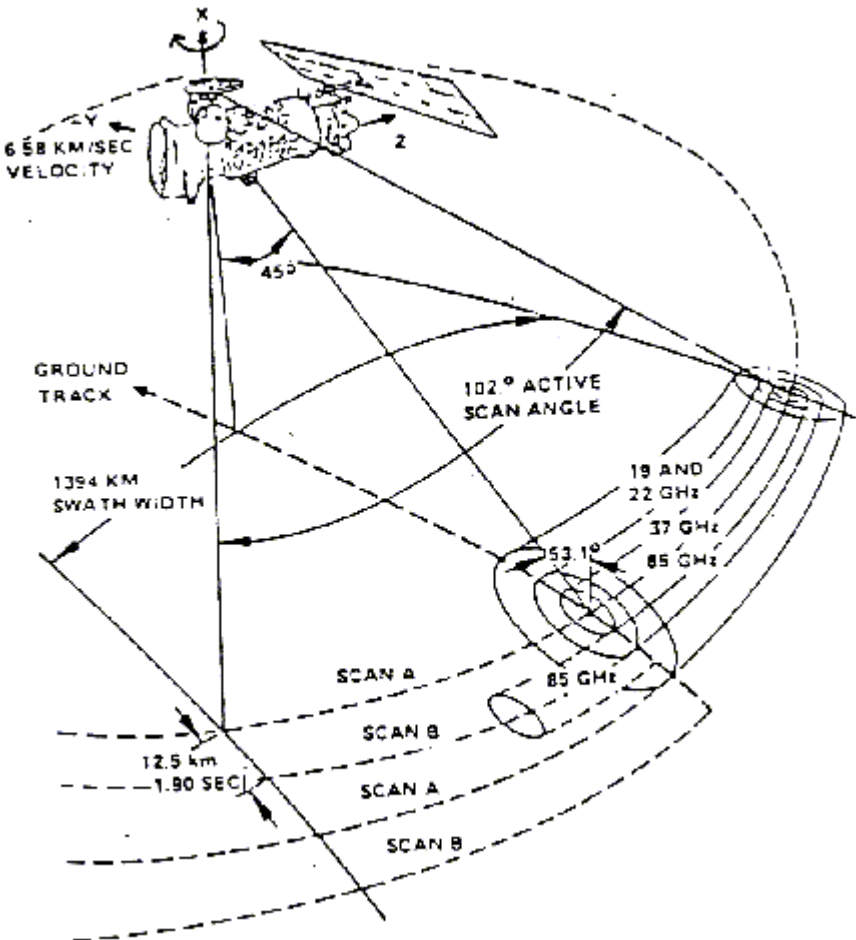
Refractive index:  $n = \sqrt{\epsilon_r}$

# *Caractéristiques de SSM/I*

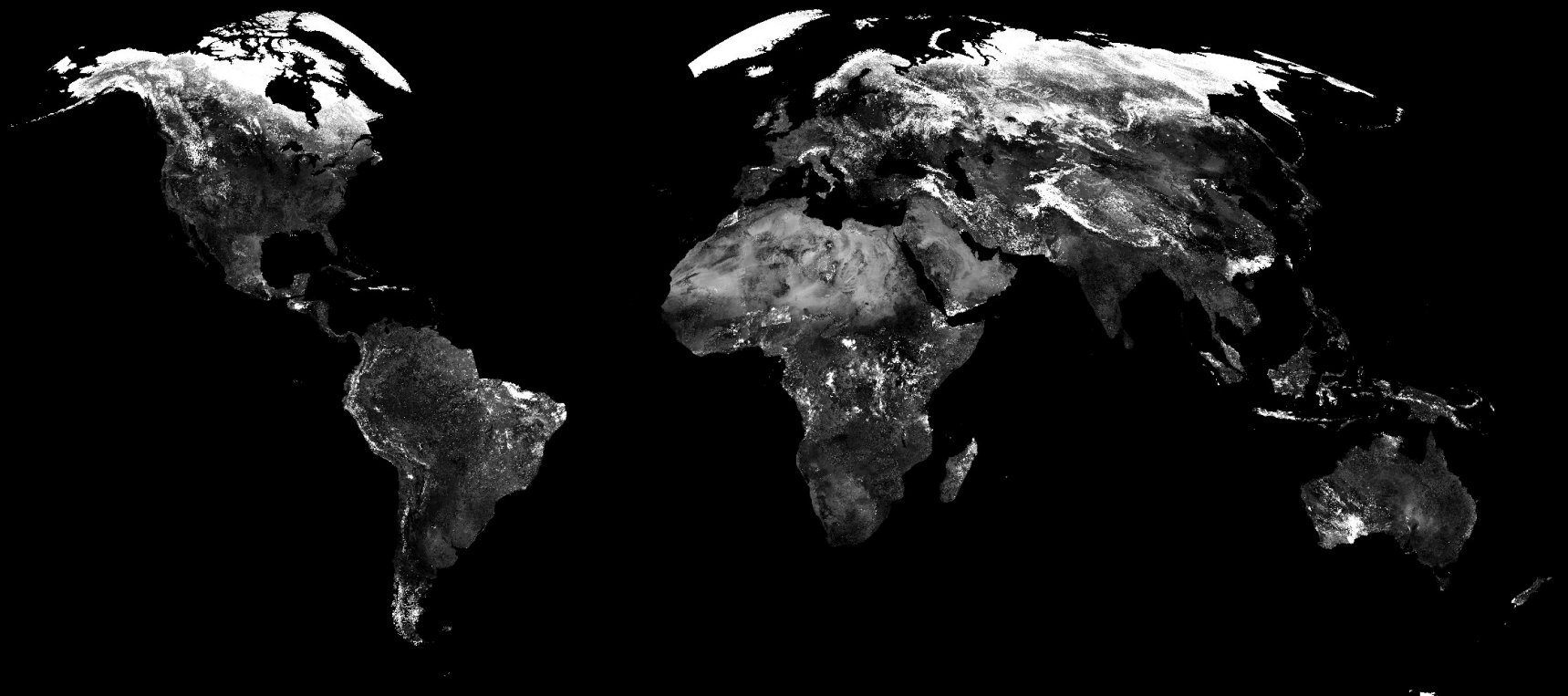


Figure 5-10. SMMR instrument in its handling fixture.

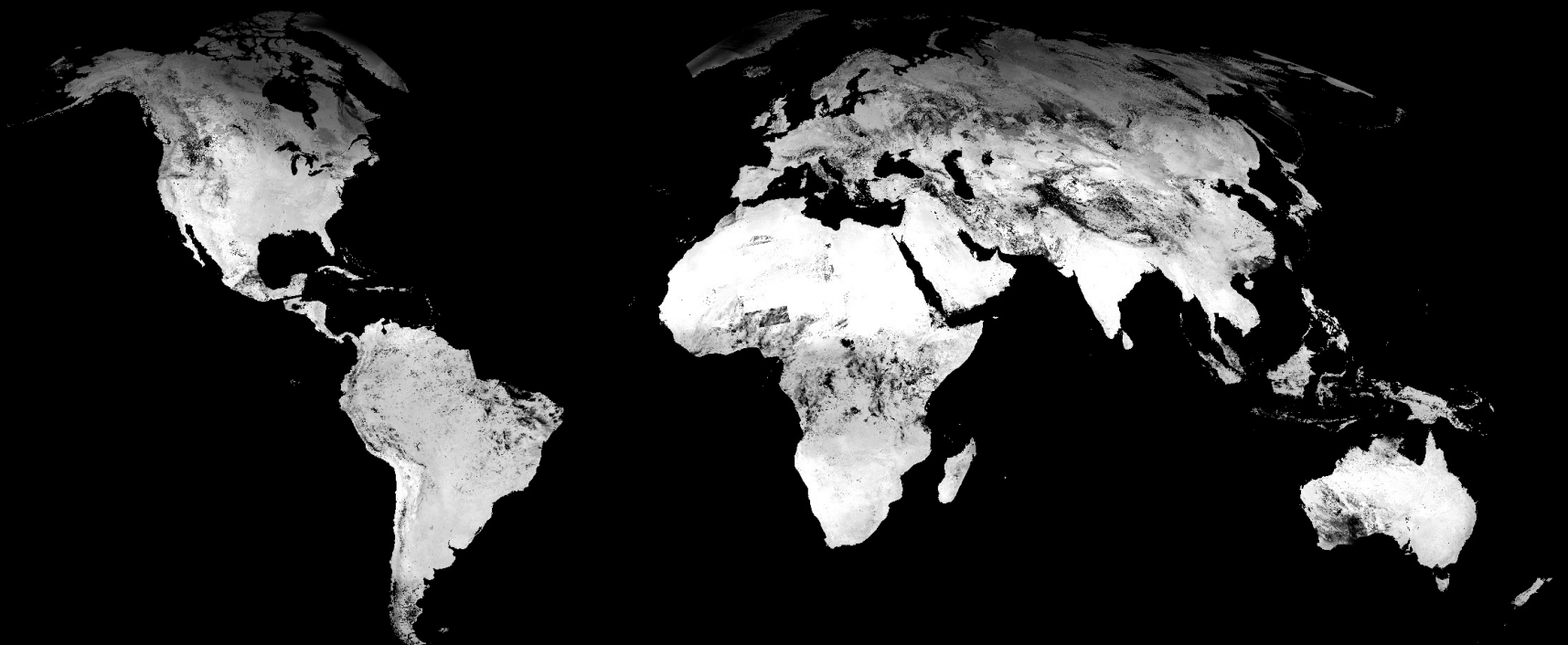
Central Frequency Pol. (GHz)	<b>19.35</b>	<b>22.24</b>	<b>37.0</b>	<b>85.5</b>
Radiometric Pol. (V/H) (*)	V, H	V	V, H	V, H
Thermal resolution (K)	0.8	0.8	0.6	1.1
Integrated FOV (Km)	70x45	60x40	38 x 30	16x14
Spatial sampling (Km)	25	25	25	12.5
Scan angle			102.4 °	
Sweep periodicity			1.9s	
Ground incidence			53.1°	
Swath width			1394 Km	
Antenna diameter			65 cm	
Weight			120 Kg	
Power			70 W	



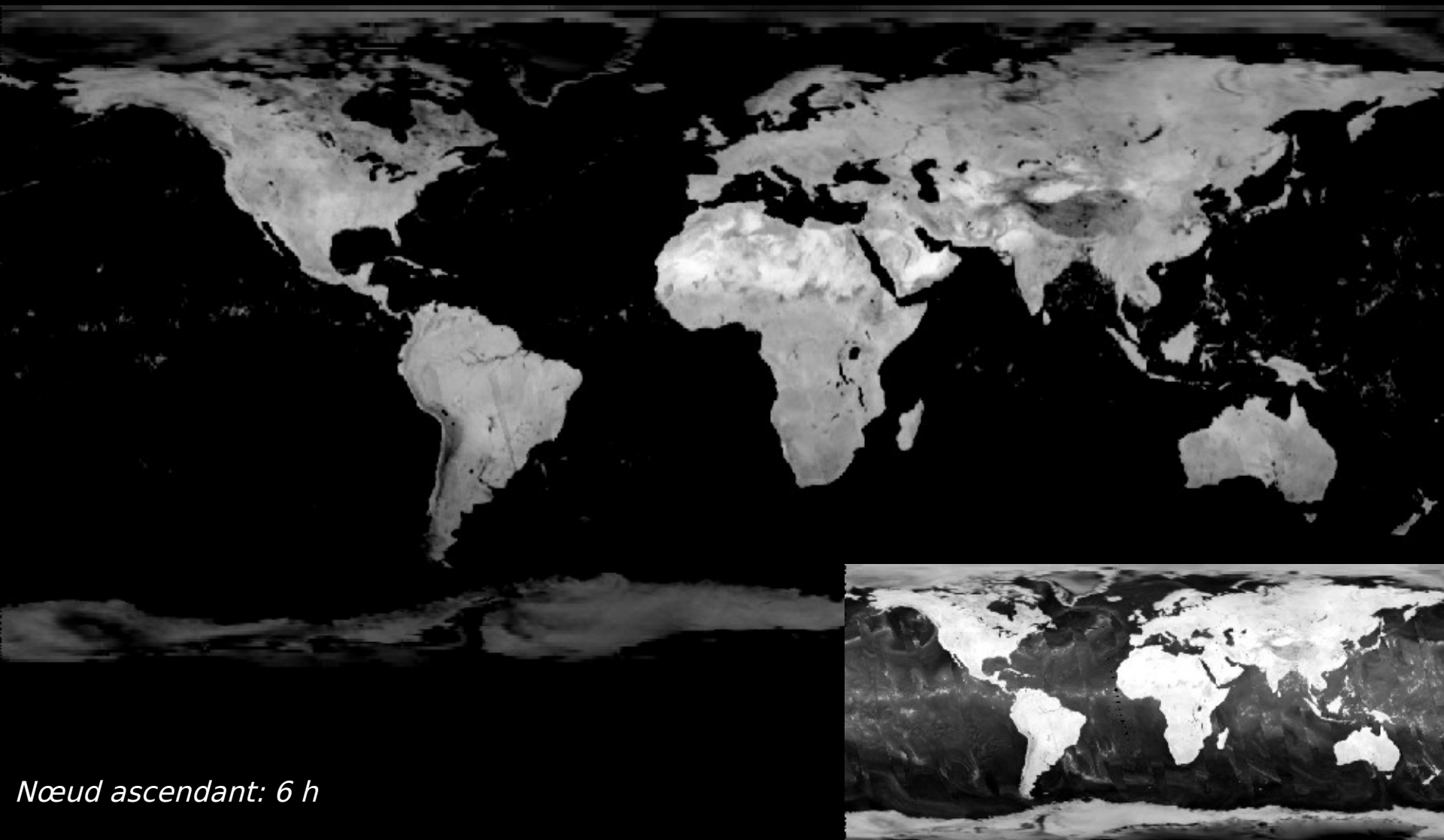
*Image globale NOAA-AVHRR*  
*Canal Proche-InfraRouge*  
*1-10 avril 1992*



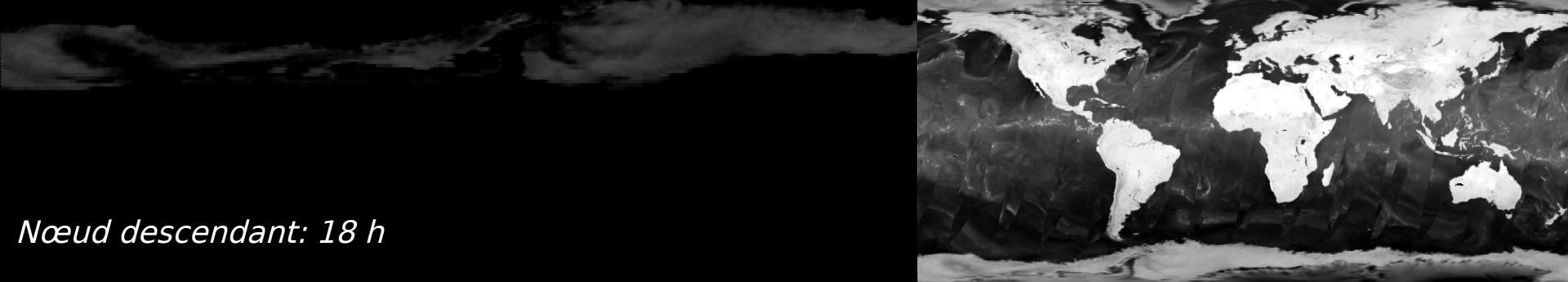
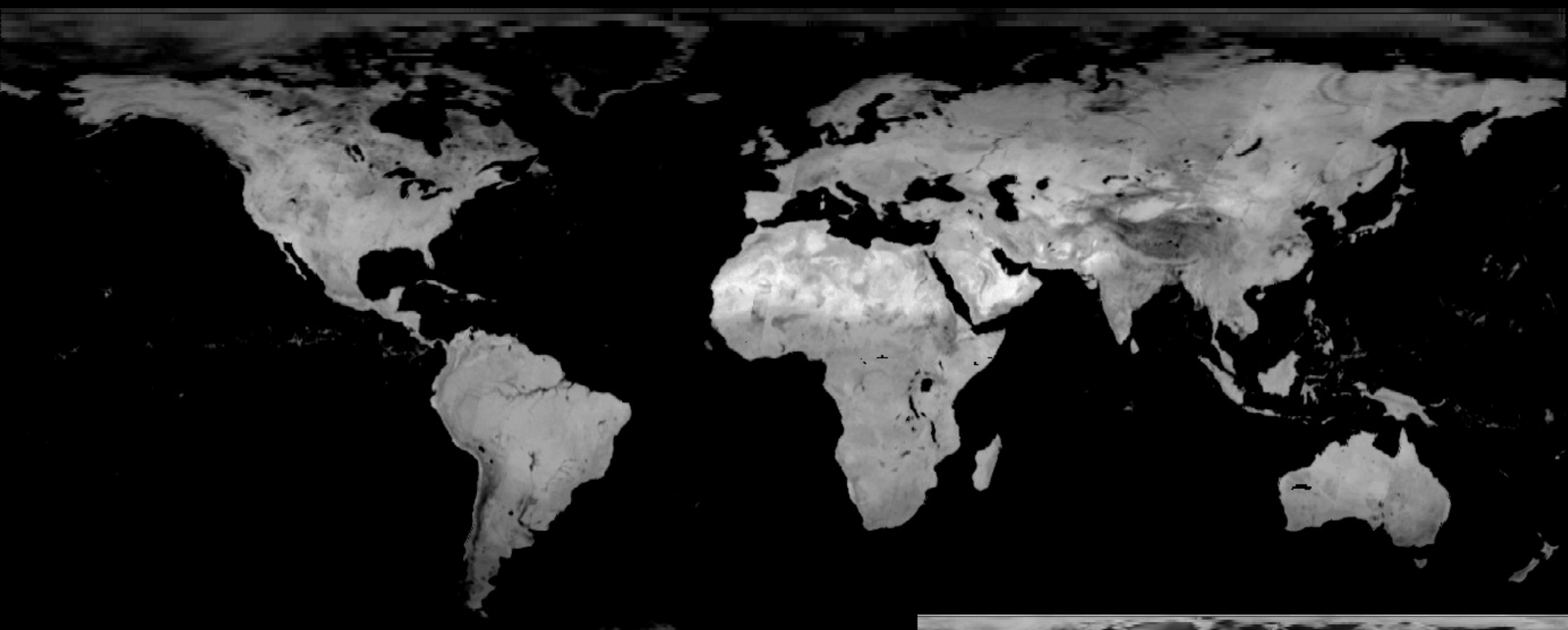
***Image globale NOAA-AVHRR***  
***Canal InfraRouge thermique (12 μm)***  
***1-10 avril 1992***



***Image globale SSM/I (19GHz)  
température de brillance - pol. V  
3-8 août 1991***

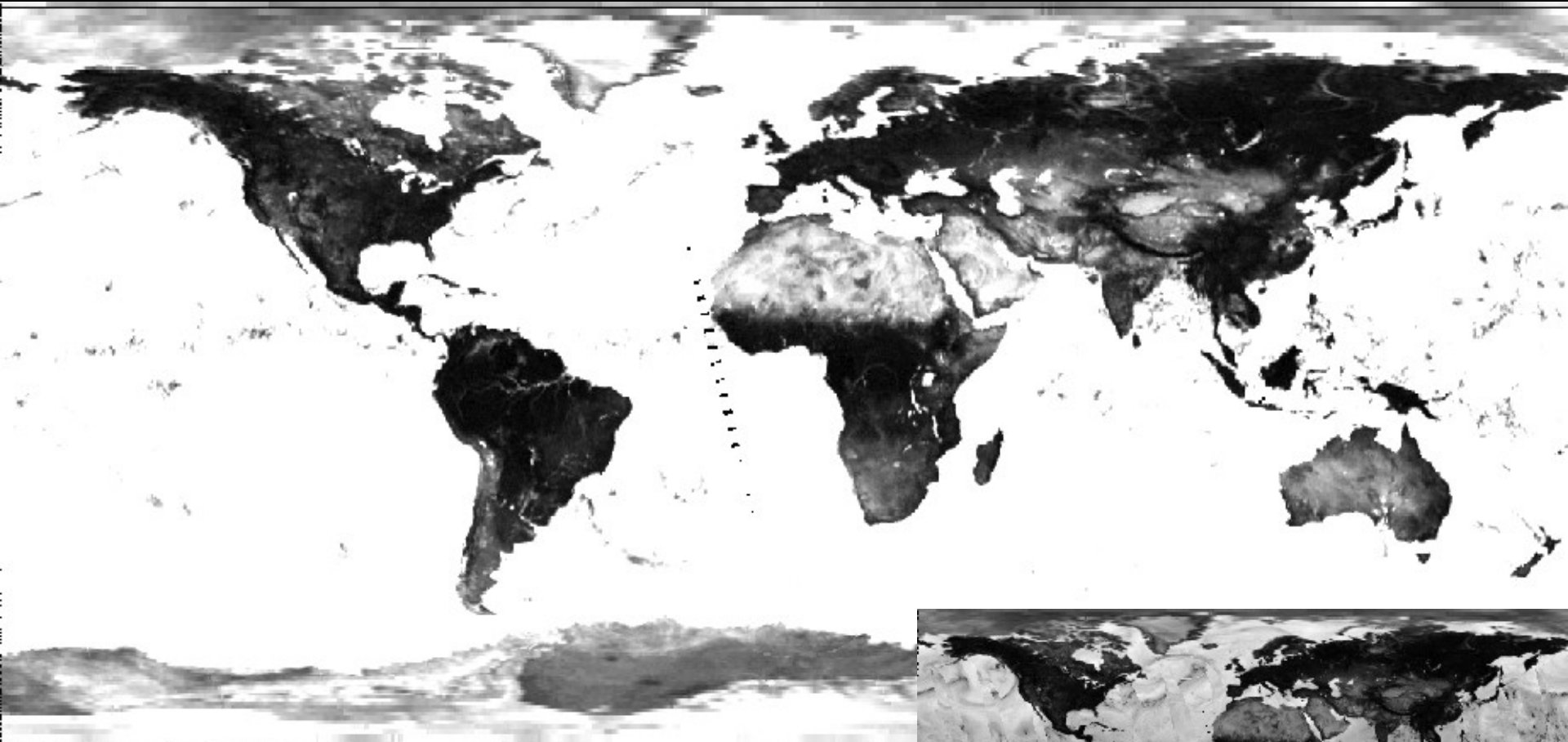


***Image globale SSM/I (19GHz)  
température de brillance - pol. V  
3-8 août 1991***



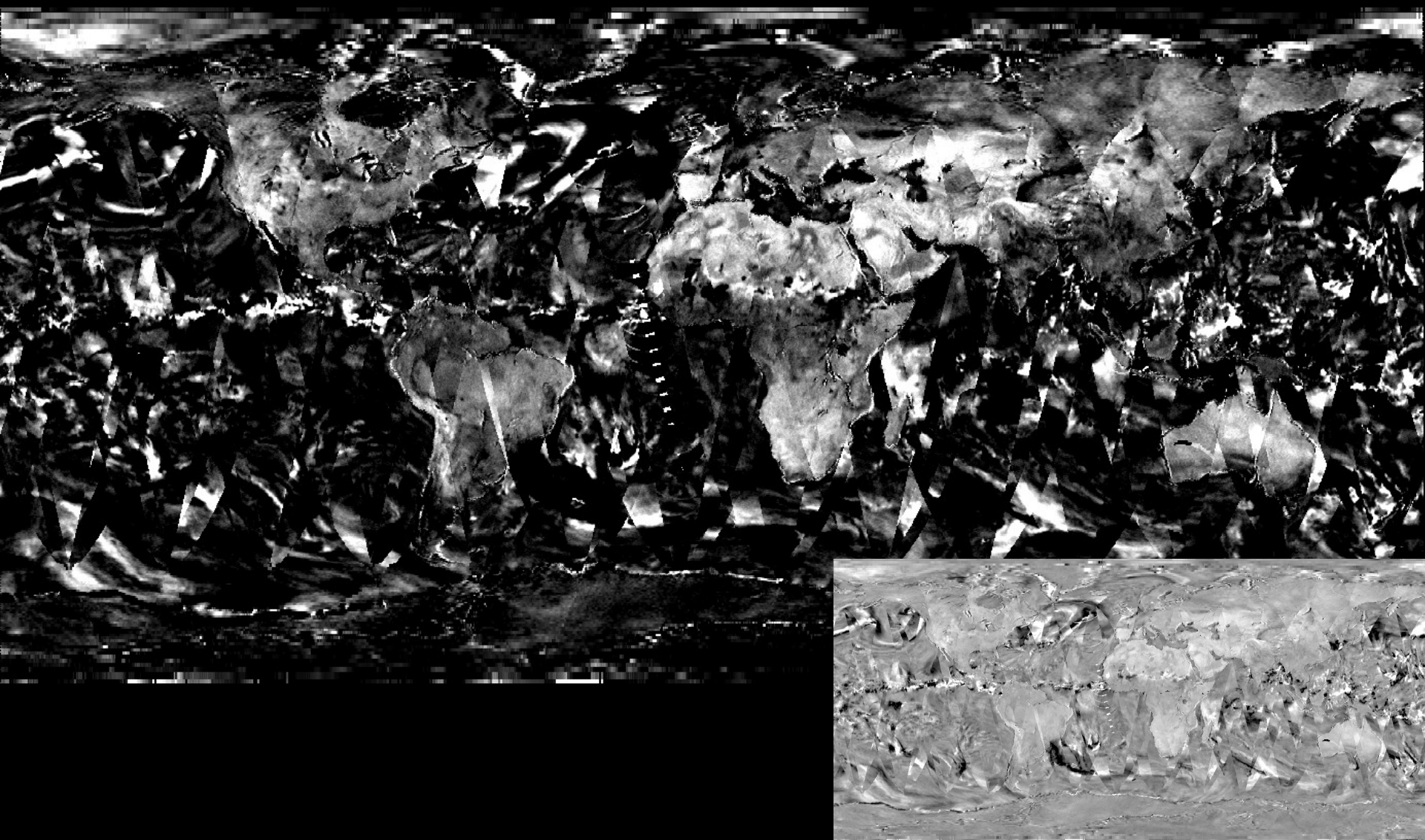
Nœud descendant: 18 h

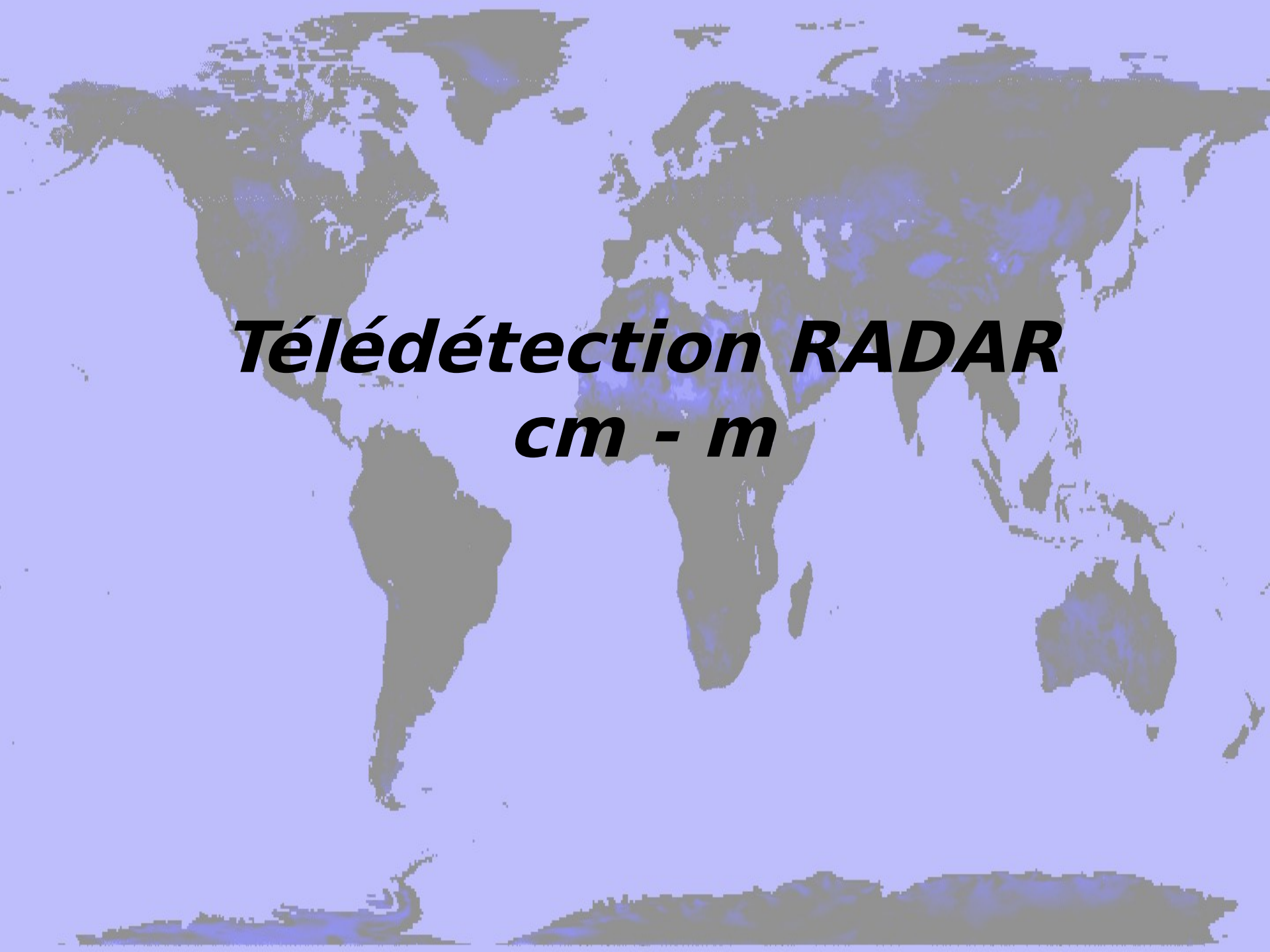
***Image globale SSM/I (19GHz)***  
 $\Delta T = T_V - T_H$   
***3-8 août 1991***



Nœud ascendant: 6h

***Image globale SSM/I (19GHz)***  
 $T_{PM} - T_{AM}$       pol. V  
***3-8 août 1991***

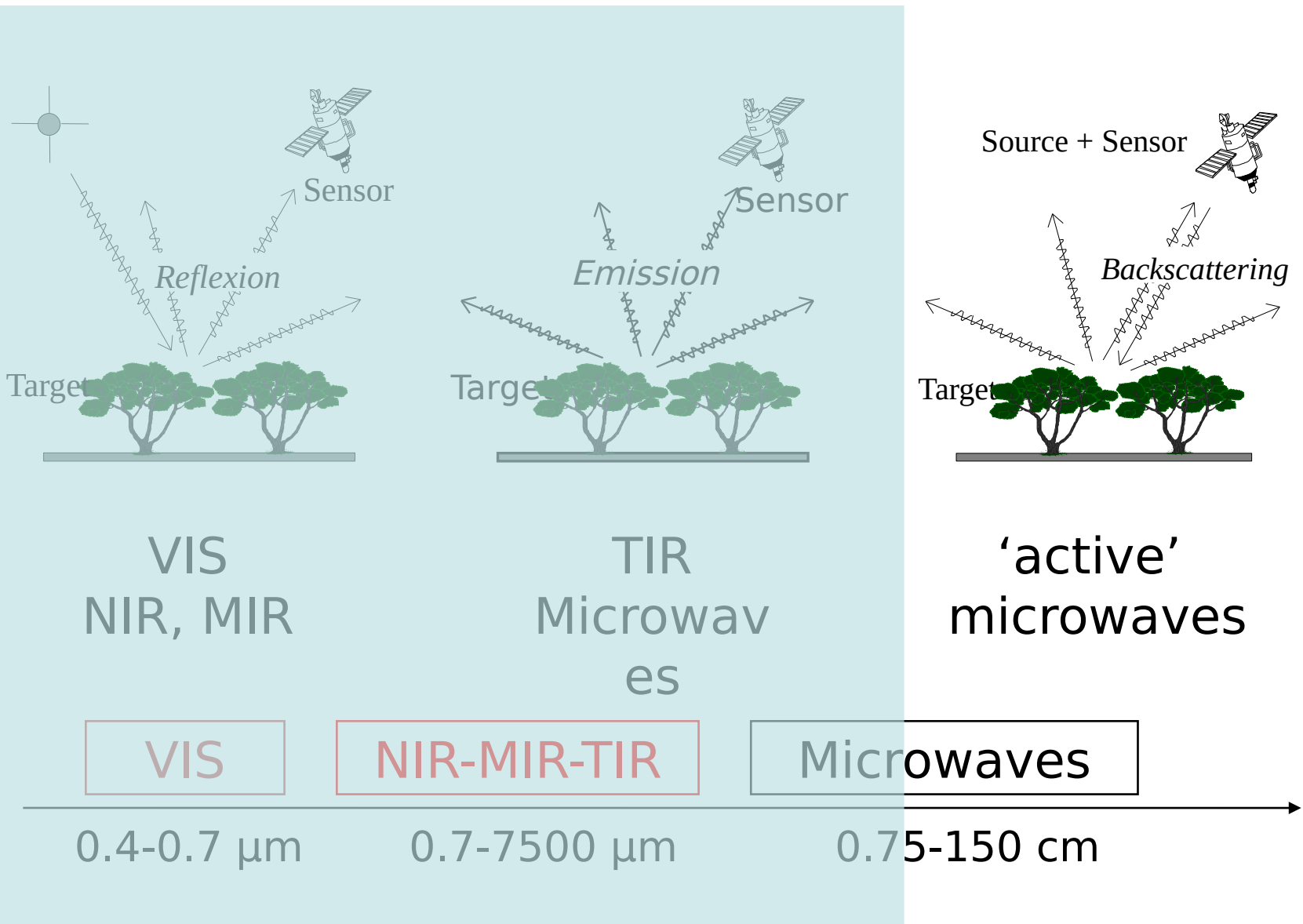




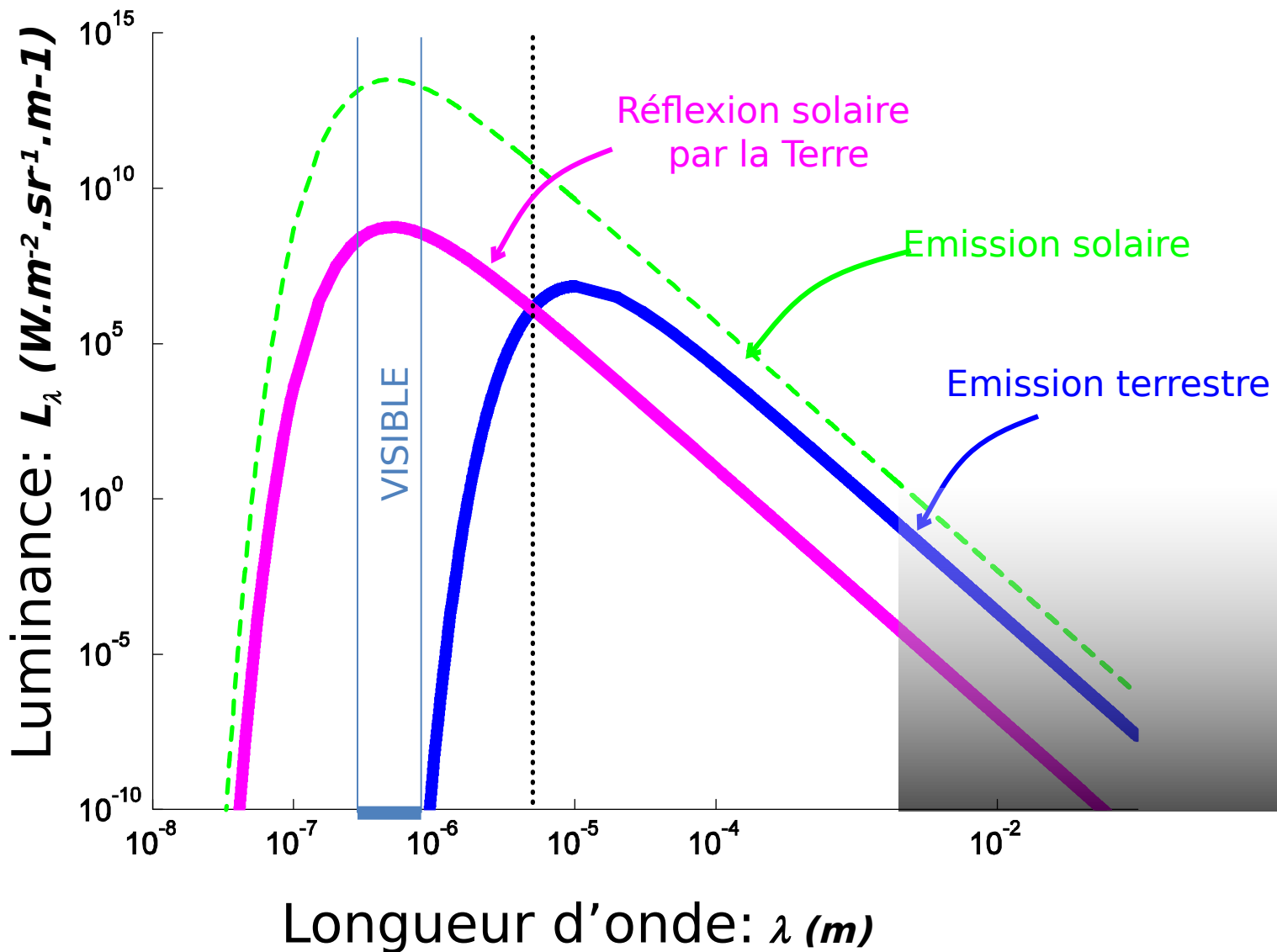
# ***Télédétection RADAR***

## ***cm - m***

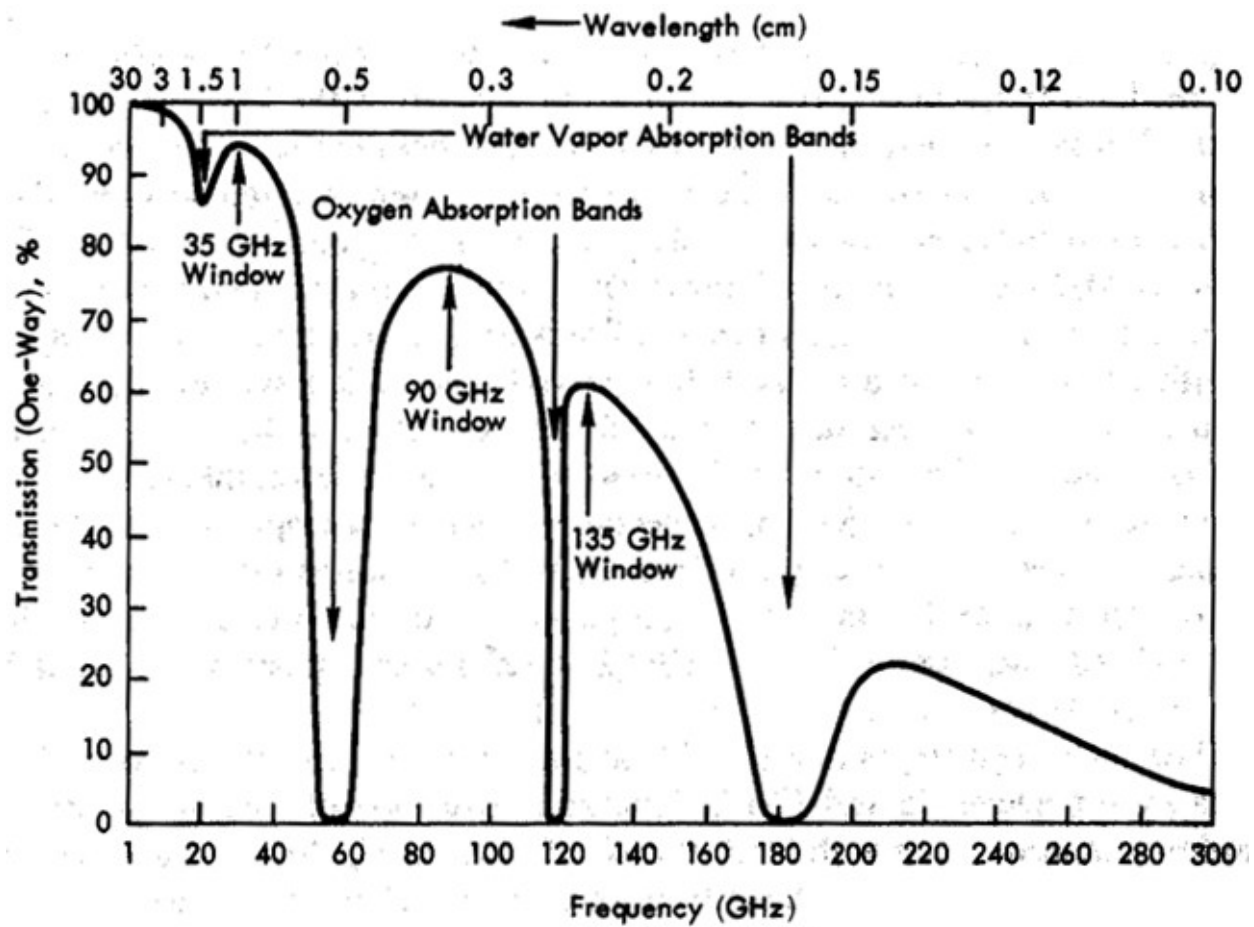
# *Observation modes*



# *Hyperfréquences actives: RADAR*



# *Microwave spectrum behaviour*



Source: Ullaby *et al.*

# Radar imageur SAR: un système tout temps



**ERS (bande C, 23°, VV)**



**Landsat TM**

Waterford, Irlande, 09/08/91  
Surface: 50 x 50 km  
Passage Landsat: 10h43  
Passage ERS-1: 11h25

*Source ESA*

r: système actif => - image de jour comme de nuit  
- observation hautes latitudes  
es centimétriques => insensible conditions météorologiques  
*(10% des images optiques sont sans nuages sur l'Europe)*

# L'EQUATION RADAR

puissance émise par un radar:

$$P_i = \frac{P_e G_e}{4\pi} d\Omega$$

clairement reçu à distance R:

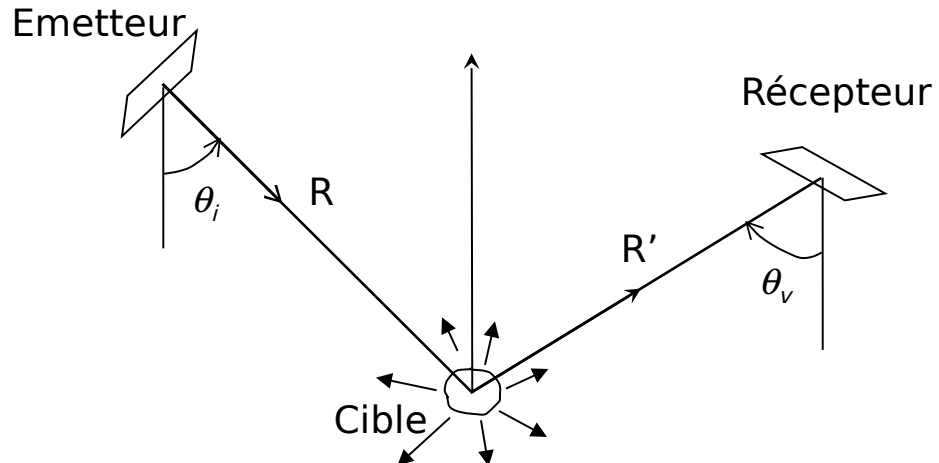
$$E_i = \frac{P_e G_e}{4\pi R^2}$$

puissance interceptée par cible  $P_s = \frac{P_e G_e}{4\pi R^2} \text{SER}$

*Section efficace radar ( $m^2$ )*

densité émise par la cible (sup. isotrope)  $\frac{P_s}{4\pi} = \frac{P_e G_e}{4\pi R^2} \frac{\text{SER}}{4\pi}$

puissance reçue par surface  $dS$  à distance  $R' \doteq I d\Omega = I \frac{dS}{R'^2} = \frac{P_e G_e}{4\pi R^2} \frac{\text{SER}}{4\pi R'^2} dS$



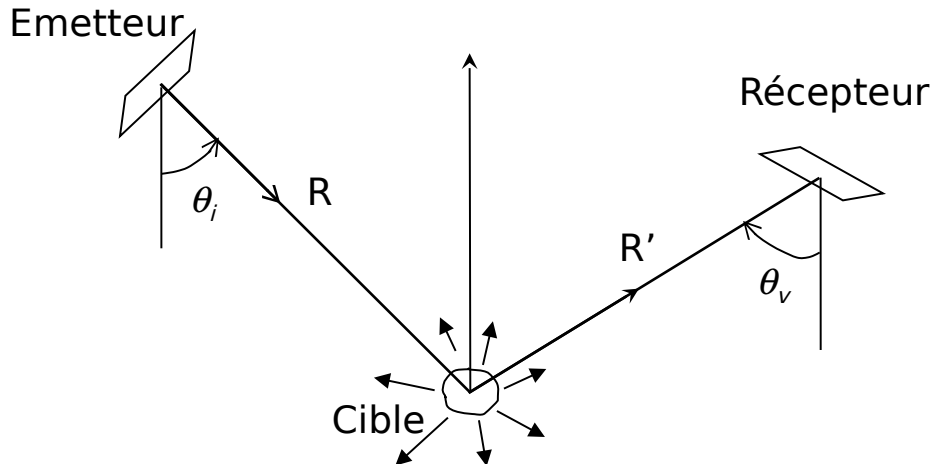
# **L'EQUATION RADAR (2)**

uis. reçue par dS à distance R':

$$P_r = \frac{P_e G_e}{4\pi R^2} \frac{SER}{4\pi R'^2} dS$$

Eclairage reçu à distance R':

$$E_r = \frac{P_e G_e}{4\pi R^2} \frac{SER}{4\pi R'^2}$$



Puissance reçue par antenne:

$$P_r = E_r dA = E_r \frac{G_r \lambda^2}{4\pi} = \frac{P_e G_e}{4\pi R^2} \frac{SER}{4\pi R'^2} \frac{G_r \lambda^2}{4\pi}$$

# **L'EQUATION RADAR (3)**

puissance reçue par antenne

$$dP_r = \frac{P_e G_e}{4\pi R^2} \frac{SER}{4\pi} \frac{G_r \lambda^2}{4\pi R^2}$$

**cas de cibles étendues:**

coefficient de rétrodiffusion radar

$$\sigma^0 = \frac{SER}{d\Sigma} \quad (\text{m}^2/\text{m}^2)$$

$$dP_r = \frac{P_e G_e}{4\pi R^2} \frac{\sigma^0 d\Sigma}{4\pi} \frac{G_r \lambda^2}{4\pi R^2}$$

$$\langle P_r \rangle = \frac{\lambda^2}{(4\pi)^3} \frac{P_e \sigma^0}{R^4} \int_{Surf.obs.} G_e G_r d\Sigma$$

# Télédétection radar ( $\lambda > \text{cm}$ )

